

MAGBIOCELL

Magnetic Biofunctional Cell

1. Introducción general

- 1.1 Contexto energético y limitaciones de las tecnologías actuales
- 1.2 Necesidad de nuevas soluciones bioelectroquímicas reversibles
- 1.3 Fundamento híbrido de MAGBIOCELL: batería redox con activación estructural
- 1.4 Visión tecnológica y aplicaciones emergentes

2. Principios físico-químicos y funcionalidad redox

- 2.1 Reacciones electroquímicas en medios acuosos con Na^+
- 2.2 Naturaleza redox reversible del sistema
- 2.3 Transferencia de carga y potencial estructurado entre electrodos
- 2.4 Comparación con baterías redox convencionales
- 2.5 Eficiencia, seguridad y autodescarga en arquitectura clásica

3. Activación magnética funcional: principio, lógica y aporte

- 3.1 Canal funcional inducido por alineación magnética
- 3.2 Magnetosomas: propiedades, dispersión y dinámica coloidal
- 3.3 Rol de los solenoides en la alineación reversible
- 3.4 Dirección de campo en carga y descarga
- 3.5 Mejora funcional del proceso redox por inducción estructural
- 3.6 Activación externa, control energético y reversibilidad

4. Arquitectura estructural de la celda

- 4.1 Encapsulado externo, geometría y terminales eléctricos
- 4.2 Disposición multicapa: ánodo, electrolito, cátodo
- 4.3 Materiales estructurales y compatibilidad entre capas
- 4.4 Inserción y fijación de terminales de bronce de aluminio
- 4.5 Simetría y ensamblaje funcional

5. Composición y funcionamiento de los componentes activos

- 5.1 Ánodo de carbono poroso funcionalizado
 - 5.1.1 Microestructura y superficie activa
 - 5.1.2 Propiedades electroquímicas y capacitancia específica

- 5.2 Cátodo gelificado con magnetosomas embebidos
 - 5.2.1 Formación del hidrogel conductor
 - 5.2.2 Distribución, orientación y estabilidad magnética
- 5.3 Electrolito con Na⁺ y magnetosomas suspendidos
 - 5.3.1 Conductividad, viscosidad y estabilidad coloidal
 - 5.3.2 Condiciones para alineación reversible
- 5.4 Separador microporoso de compatibilidad biofuncional
 - 5.4.1 Porosidad, espesor y selectividad iónica
 - 5.4.2 Materiales candidatos y estabilidad estructural

6. Subsistema magnético de activación

- 6.1 Geometría de solenoides y eficiencia de campo
- 6.2 Configuración helicoidal y campo adyacente
- 6.3 Sincronización direccional y control de inversión
- 6.4 Reducción de resistencia estructural inducida
- 6.5 Comparación con sistemas de activación externa alternativos

7. Sistema electrónico y de control

- 7.1 Condensador de activación y recuperación interna de energía
- 7.2 Inversor magnético mediante puente H y lógica funcional
- 7.3 Unidad CPU: algoritmo de activación y control de ciclo
- 7.4 Seguridad operativa y gestión energética embebida
- 7.5 Topología completa del subsistema eléctrico

8. Funcionamiento operativo: ciclo redox inducido

- 8.1 Carga estructurada: campo en dirección directa
- 8.2 Descarga estructurada: inversión de campo magnético
- 8.3 Transferencia funcional dirigida por magnetoalineación
- 8.4 Funcionamiento en modo clásico sin activación
- 8.5 Coordinación lógica estructural: redox + campo

9. Comparación con tecnologías actuales

- 9.1 Baterías de ion de litio y limitaciones estructurales
- 9.2 Celdas zinc-aire, supercondensadores y baterías híbridas
- 9.3 Comparativa cuantitativa: densidad, ciclos, coste, seguridad
- 9.4 Evaluación funcional y estructural diferencial
- 9.5 MAGBIOCELL como sistema energético de nueva categoría

10. Aplicaciones, integración y sostenibilidad

- 10.1 Eliminación de metales críticos y materiales tóxicos
- 10.2 Compatibilidad biológica y operación en entornos sensibles
- 10.3 Reducción de costes y acceso tecnológico global
- 10.4 Producción descentralizada, circularidad y soberanía energética
- 10.5 Aplicaciones emergentes: médicas, portables, educativas

11. Conclusiones y proyección

- 11.1 Síntesis del modelo tecnológico
- 11.2 Diferencias estructurales y operativas frente al estado del arte
- 11.3 Líneas de escalabilidad futura y validación experimental
- 11.4 Declaración de disrupción funcional, ecológica y social

Capítulo 1 – Introducción general

1.1 Justificación tecnológica y contexto estructural

El almacenamiento de energía constituye una de las problemáticas fundamentales no resueltas de la transición energética global. A pesar de los avances en generación eléctrica a partir de fuentes renovables (solar, eólica, mareomotriz, geotérmica), el desequilibrio entre producción y demanda continúa siendo un obstáculo crítico, especialmente debido a la naturaleza intermitente y no despachable de dichas fuentes.

A nivel tecnológico, el almacenamiento eficiente de energía depende de sistemas que sean:

1. **Altamente reversibles**, es decir, capaces de cargarse y descargarse cientos o miles de veces sin pérdida sustancial de rendimiento.
2. **Ecológicamente sostenibles**, fabricables sin metales tóxicos ni procesos extractivos agresivos.
3. **Seguros**, tanto térmica como electroquímicamente, incluso en condiciones adversas.
4. **Adaptables estructuralmente**, para su integración en dispositivos portables, médicos, educativos, rurales o de baja densidad de carga.

Las tecnologías actualmente dominantes —baterías de ion-litio, plomo-ácido, níquel-hidruro, supercondensadores, y sistemas redox de flujo— enfrentan severas limitaciones en al menos uno de estos criterios. Estas limitaciones se originan no solo en los materiales, sino en la lógica estructural de funcionamiento, anclada en arquitecturas rígidas, químicas agresivas o mecanismos de transferencia no reversibles.

1.2 Necesidad de soluciones bioelectroquímicas reversibles

En organismos vivos, la energía es transferida y almacenada con enorme eficiencia, sin generación de calor, sin uso de metales pesados, y con reversibilidad estructural.

Ejemplos abundan en la bioenergética: la cadena mitocondrial, el gradiente de protones intracelulares, o los sistemas bacterianos de transferencia redox por contacto.

En este contexto emerge MAGBIOCELL como una celda energética **totalmente teórica y empíricamente fundamentada**, cuya arquitectura no se basa en la disposición tradicional de electrodos metálicos y electrolitos clásicos, sino en una **estructura blanda, bioinspirada y funcionalmente reconfigurable**, con transferencia de carga activada por campo magnético inducido.

Las características centrales de esta celda incluyen:

- Un sistema redox acuoso con sodio (Na^+) como ion portador principal.
- Un cátodo estructurado como hidrogel embebido con nanopartículas magnéticas.
- Un ánodo compuesto por carbono poroso funcionalizado, altamente polarizable.
- Un electrolito coloidal blando, con magnetosomas suspendidos.
- Una capa separadora microporosa con permeabilidad iónica selectiva.
- Un sistema externo de solenoides helicoidales para inducir alineación magnética interna.
- Un microcontrolador que regula activación, dirección de campo, ciclos y seguridad.

1.3 Fundamento teórico-funcional: lógica híbrida inducida

MAGBIOCELL es una celda híbrida que combina los principios de las celdas redox reversibles con la activación estructural inducida. Su funcionamiento se basa en dos niveles integrados de operación:

1. Transferencia redox en medio acuoso:

- La carga eléctrica es almacenada por oxidación-reducción entre el ánodo y el cátodo.
- El sodio (Na^+) actúa como transportador de carga.
- Los electrones fluyen externamente si y solo si se forma un canal funcional interno.

2. Canal funcional inducido por campo magnético:

- Un conjunto de solenoides externos genera un campo magnético controlado.
- Dicho campo alinea espacialmente nanopartículas magnéticas (magnetosomas) en el electrolito y en el cátodo.
- Esta alineación constituye un **canal funcional estructurado** que permite la transferencia dirigida de carga.

- En ausencia de campo, dicho canal desaparece, y la celda queda en estado latente.

La combinación de estos dos mecanismos permite un control reversible, estructural y seguro del flujo de energía.

1.4 Consideraciones fundamentales sobre redox, polarización y dendritas

Una de las principales fuentes de degradación en baterías metálicas es la formación de **dendritas**, estructuras filamentosas que crecen por depósito metálico no uniforme en la superficie del electrodo. Esto ocurre en celdas donde un ion metálico (como Li^+ o Zn^{2+}) se reduce a metal sólido (Li^0 o Zn^0) sobre un electrodo metálico.

En MAGBIOCELL:

- No hay superficies metálicas electroactivas.
- No hay reducción a metal sólido.
- Los electrodos son materiales porosos no metálicos (carbono funcionalizado, hidrogel magnetoactivo).
- Los terminales de bronce de aluminio están eléctricamente pasivados y no participan en la reacción redox.

Por tanto, no existen las condiciones físicoquímicas para nucleación dendrítica. La siguiente ecuación, que describe la condición para precipitación metálica, no se cumple:

Condición de reducción metálica:



Dado que el sistema opera en medios con pH moderado, bajo voltaje de célula, y sin superficies catalíticas metálicas activas, esta reducción no ocurre en ningún punto del ciclo operativo.

1.5 Modos operativos y control estructural

La celda puede operar en dos modos claramente diferenciados:

Modo operativo	Requiere campo magnético	Transferencia funcional activa	Autodescarga	Control electrónico
Activado (modo inducido)	Sí	Sí	Muy baja	Total
Clásico pasivo	No	Parcial y difusa	Mayor	Nulo

En modo inducido, el campo genera una alineación de las partículas magnéticas, que puede representarse mediante la ley de Langevin para orientación magnética:

$$\mathbf{M} = \mathbf{M}_s \cdot [\text{coth}(\mu\mathbf{B} / kT) - (kT / \mu\mathbf{B})]$$

Donde:

- \mathbf{M} = magnetización neta inducida
- \mathbf{M}_s = magnetización de saturación
- μ = momento magnético de una partícula
- \mathbf{B} = campo magnético aplicado
- k = constante de Boltzmann
- T = temperatura absoluta

Este modelo permite predecir la eficiencia de alineación funcional según las condiciones térmicas y magnéticas.

Capítulo 2 – Principios físico-químicos y funcionalidad redox

2.1 Reacciones electroquímicas en medios acuosos con Na^+

En el sistema MAGBIOCELL, la conversión y almacenamiento de energía se basa en procesos de oxidación y reducción que tienen lugar en un medio acuoso estabilizado. A diferencia de las baterías metálicas clásicas, donde los iones metálicos se reducen a su forma elemental sólida sobre superficies metálicas activas, en este sistema el portador iónico principal —el sodio (Na^+)— **permanece en estado iónico durante todo el ciclo**, evitando procesos de precipitación metálica y degradación irreversible.

La base de funcionamiento se centra en un sistema redox reversible entre dos materiales estructurales funcionalizados:

1. Un **ánodo poroso de carbono funcionalizado**, con alta superficie específica, grupos superficiales oxigenados ($-\text{OH}$, $-\text{COOH}$) y capacidad de absorción iónica.
2. Un **cátodo gelificado**, conformado por una matriz de hidrogel conductor embebido con magnetosomas o nanopartículas magnéticas funcionales, que actúan como centros de acoplamiento iónico y polarización.

Ambos se encuentran separados por un electrolito acuoso coloidal que contiene sodio en solución y, en condiciones inducidas, permite alineación funcional estructurada.

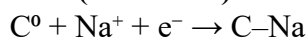
Reacciones redox básicas:

Durante la carga (con campo magnético orientado del ánodo al cátodo):

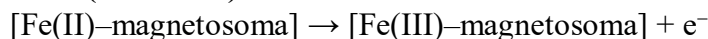
- **Ánodo (oxidación):**
 $\text{C-Na} + \text{H}_2\text{O} \rightarrow \text{C}^0 + \text{Na}^+ + \text{e}^- + \text{OH}^-$
- **Cátodo (reducción):**
 $[\text{Fe(III)-magnetosoma}] + \text{e}^- \rightarrow [\text{Fe(II)-magnetosoma}]$

Durante la descarga (con campo invertido):

- **Ánodo (reducción):**



- **Cátodo (oxidación):**



Estas reacciones representan un esquema funcional. La interacción del Na^+ con la estructura del ánodo no implica una formación de sodio metálico (Na^0), sino un **acoplamiento fisicoquímico a grupos funcionales superficiales**. Por su parte, los magnetosomas funcionan como centros redox de alta reversibilidad, basados en ciclos Fe(II)/Fe(III) típicos de la magnetita (Fe_3O_4).

En condiciones normales, los electrones se transfieren eficientemente por el circuito externo solo cuando internamente se forma el canal funcional inducido, ya que en ausencia de activación magnética, la celda presenta una conducción pasiva muy limitada, difusa y de baja eficiencia.

2.2 Naturaleza redox reversible del sistema

La reversibilidad de una celda redox depende de la capacidad de sus componentes para sufrir oxidación y reducción repetidamente sin alteración de su estructura química ni formación de productos secundarios. En MAGBIOCELL, esta reversibilidad está garantizada por varios factores clave:

- **Medio acuoso coloidal neutro o débilmente alcalino** (pH 7–9), que evita corrosión ácida o precipitación de hidróxidos.
- **Materiales activos sin fase metálica**, lo que impide reacciones de depósito sólido.
- **Alta superficie específica de los componentes funcionales**, que distribuye homogéneamente las cargas locales.
- **Separador microporoso selectivo**, que evita mezclas no deseadas y mantiene equilibrio iónico estable.

Ecuación de Nernst aplicada al sistema:

El potencial de cada semirreacción redox puede describirse, en condiciones no estándar, mediante la ecuación de Nernst:

$$E = E^0 - (RT / zF) \times \ln([Red] / [Ox])$$

Donde:

- **E** = potencial de electrodo (V)
- **E⁰** = potencial estándar de la reacción (V)
- **R** = constante de los gases ($8.314 \text{ J} \cdot \text{mol}^{-1} \cdot \text{K}^{-1}$)
- **T** = temperatura absoluta (K)

- z = número de electrones transferidos
- F = constante de Faraday ($96485 \text{ C} \cdot \text{mol}^{-1}$)
- $[\text{Red}] / [\text{Ox}]$ = cociente de concentraciones de las especies reducida y oxidada

En el caso del par Fe(III)/Fe(II) en los magnetosomas, el valor estándar es aproximadamente:

$$E^{\circ} (\text{Fe}^{3+}/\text{Fe}^{2+}) \approx +0.77 \text{ V vs SHE}$$

Mientras que para el acoplamiento superficial del Na^+ en el carbono funcionalizado se estiman potenciales anódicos variables entre:

$$E (\text{Na}^+ \text{ ads} / \text{C}) \approx -1.8 \text{ a } -2.2 \text{ V vs SHE},$$

dependiendo del pH, del grado de oxidación superficial del carbono, y de la carga superficial distribuida.

Esto genera un voltaje de celda teórico entre 1.8 y 2.5 V, con alta estabilidad bajo control magnético, y con mínima autodescarga cuando el canal funcional no está activo.

2.3 Transferencia de carga y potencial estructurado entre electrodos

Una característica distintiva de MAGBIOCELL es que, aunque dispone de dos terminales eléctricos y un circuito clásico de conexión, la transferencia de carga interna entre los electrodos no se produce automáticamente de forma eficiente. A diferencia de una batería convencional, donde el flujo de electrones se genera por diferencia de potencial y ruta conductiva continua, en este sistema se requiere **la formación activa de un canal funcional inducido por campo magnético para lograr una conducción estructurada de alta eficiencia.**

Este canal está compuesto por una **alineación espacial y temporal de magnetosomas o nanopartículas funcionales**, que actúan como un "**punteo estructural**" entre las zonas funcionales del ánodo y el cátodo. La eficiencia de esta transferencia depende de:

La intensidad del campo magnético aplicado (**B**).

- La concentración de partículas magnéticas móviles.
- La viscosidad del medio coloidal.
- La distancia efectiva entre los electrodos.

Impedancia efectiva del sistema:

$$Z_{\text{total}} = Z_{\text{coloidal}} + Z_{\text{inducido}} + Z_{\text{interfaz}}$$

Donde:

- Z_{coloidal} = resistencia iónica del medio acuoso (Ω)
- Z_{inducido} = resistencia estructural reversible del canal funcional inducido (Ω)
- Z_{interfaz} = impedancia por contacto entre terminal y material activo (Ω)

En presencia del campo adecuado, **Z_inducido disminuye drásticamente**, reduciendo así la resistencia total del sistema y permitiendo la transferencia de carga estructurada. En ausencia de campo, Z_inducido tiende a infinito, y la celda se comporta como un sistema abierto sin transferencia funcional interna.

2.4 Comparación con baterías redox convencionales

Las baterías redox convencionales, como las de flujo (vanadio, bromuro de zinc, hierro-cromo) o las semi-sólidas coloidales, operan mediante transferencia de electrones entre especies disueltas en soluciones líquidas. En estos sistemas, los electrolitos circulan a través de compartimentos separados por membranas, y los materiales activos se regeneran por flujo constante, lo que exige bombas, válvulas, sensores y control hidráulico.

Aunque estos sistemas han demostrado una elevada reversibilidad teórica, su aplicación está limitada por varios factores estructurales:

Parámetro	Baterías redox clásicas	MAGBIOCELL
Medio activo	Soluciones acuosas ácidas o salinas	Medio coloidal blando, acuoso y biocompatible
Flujo de electrolito	Requiere bombas y circulación	No se requiere flujo externo
Estructura de transferencia	Difusión clásica	Canal funcional inducido por alineación magnética
Material activo	Vanadio, hierro, bromo, etc.	Carbono funcionalizado + magnetosomas
Potencial de celda típico	1.2 a 1.5 V	1.8 a 2.5 V (teórico, inducido)
Riesgo de fuga o corrosión	Alto (ácidos fuertes)	Bajo (medio blando, neutro)
Necesidad de sellado dinámico	Sí	No
Escalabilidad modular	Media	Alta (estructura cerrada sin fluidos móviles)

Diferencia clave: En MAGBIOCELL, aunque existe contacto metálico externo clásico para permitir la circulación de electrones en el circuito, la transferencia interna de carga entre los electrodos no se basa en una ruta metálica continua, sino en **la formación inducida de un canal funcional estructurado entre los materiales activos**. Este mecanismo distingue al sistema de una batería redox convencional en su arquitectura funcional, aunque comparte su base electroquímica reversible.

Además, los materiales utilizados en baterías redox tradicionales —como el vanadio o el bromo— presentan toxicidad ambiental y riesgos operativos significativos. MAGBIOCELL prescinde de estos elementos, utilizando materiales funcionales blandos, reciclables, y no peligrosos.

2.5 Eficiencia, seguridad y autodescarga en arquitectura funcional

La eficiencia y estabilidad operativa de un sistema de almacenamiento no depende únicamente del potencial redox teórico, sino también de:

- La resistencia interna del sistema (impedancia total).
- La pérdida de energía térmica por disipación ohmica.
- La capacidad de retener carga durante períodos prolongados (autodescarga).
- La respuesta ante condiciones extremas o fallas de control (seguridad operativa).

Eficiencia energética total del ciclo

La eficiencia del sistema puede aproximarse como:

$$\eta_{\text{total}} = (E_{\text{descarga}} \cdot Q_{\text{util}}) / (E_{\text{carga}} \cdot Q_{\text{total}})$$

Donde:

- E_{descarga} = voltaje promedio durante descarga (V)
- Q_{util} = cantidad de carga realmente útil entregada (C)
- E_{carga} = voltaje promedio durante carga (V)
- Q_{total} = carga total suministrada durante el proceso de carga (C)

En MAGBIOCELL, la eficiencia energética global puede superar el 90% en modo inducido, debido a una combinación de factores estructurales y de control activo, entre los cuales destacan:

- **Reducción significativa de la resistencia interna** cuando el canal funcional está alineado magnéticamente, lo que mejora la transferencia dirigida de carga.
- **Ausencia de calor excesivo** derivado de pasos de fase, precipitaciones metálicas o reacciones parásitas, gracias a la naturaleza iónica y reversible del sistema.
- **Precisión en la activación y desactivación del canal funcional**, controlada digitalmente mediante campo magnético externo, lo que optimiza cada ciclo de carga y descarga con mínima pérdida energética.

Seguridad operativa

Las siguientes características contribuyen a una alta seguridad estructural:

- **Ausencia de electrolitos inflamables:** el medio es coloidal acuoso, con punto de ebullición elevado y sin riesgo de ignición.
- **Inexistencia de depósitos metálicos:** no hay sodio metálico ni placas reactivas.

- **Sistema pasivo sin campo:** en ausencia de activación magnética, la celda permanece estructuralmente inactiva, con resistencia interna extremadamente alta. Esto evita cualquier transferencia de corriente, incluso en condiciones de cortocircuito externo.
- **Temperatura de operación moderada:** el diseño funcional y los materiales coloidales permiten operación segura y eficiente a temperatura ambiente, sin necesidad de refrigeración activa, gracias a la baja disipación térmica del sistema.

En la mayoría de baterías convencionales, la autodescarga ocurre por varios mecanismos, entre ellos:

- Difusión cruzada de iones a través del separador.
- Reacciones parásitas en las superficies de los electrodos.
- Pérdidas energéticas por movilidad térmica y corrientes residuales.

En MAGBIOCELL, la arquitectura funcional controlada por campo magnético minimiza drásticamente estos fenómenos. Cuando el campo no está aplicado:

- No se forma el canal funcional.
- No hay transferencia efectiva de carga entre los electrodos.
- El sistema permanece estructuralmente cerrado e inactivo.

Este comportamiento sugiere una autodescarga teórica inferior al 1% mensual, y permite un almacenamiento prolongado en condiciones latentes, sin pérdida significativa de capacidad funcional, al mantenerse inactiva la dinámica redox.

Modelo de autodescarga clásica comparada

La corriente de autodescarga puede modelarse como:

$$I_{\text{autodescarga}} = (V_{\text{oc}}) / R_{\text{interna}}$$

Donde:

- V_{oc} = voltaje en circuito abierto
- R_{interna} = resistencia interna efectiva del sistema

En MAGBIOCELL, cuando no se induce el canal funcional, se tiene:

$$R_{\text{interna}} \approx \infty$$

$$\Rightarrow I_{\text{autodescarga}} \approx 0 \text{ A}$$

Esto permite considerar a la celda como un sistema **latentemente estable**, con activación únicamente bajo condiciones definidas.

Capítulo 3 – Activación magnética funcional: principio, lógica y aporte

3.1 Canal funcional inducido por alineación magnética

El principio de activación estructural funcional de MAGBIOCELL se basa en la **formación inducida y reversible de un canal funcional interno** entre el ánodo y el cátodo, mediante la aplicación de un campo magnético externo. Este canal no es una estructura física permanente, sino una **configuración espacial temporal** que se genera

únicamente bajo condiciones específicas de campo, y que desaparece al eliminar la excitación magnética.

Este fenómeno es posible gracias a la presencia de **nanopartículas magnéticas suspendidas en el electrolito o embebidas en el cátodo**, capaces de alinearse bajo influencia de un campo magnético controlado, generando una vía preferente de transferencia de carga estructurada. Estas nanopartículas son análogas funcionales a los **magnetosomas**, estructuras producidas naturalmente por bacterias magnetotácticas y compuestas por cristales de magnetita (Fe_3O_4) o greigita (Fe_3S_4), con una cubierta lipídica o polimérica que permite su dispersión estable.

La activación magnética genera una **reorganización espacial de estas partículas** a lo largo de líneas de campo, formando una red estructurada orientada entre los dos electrodos.

Modelo físico del alineamiento funcional:

La magnetización inducida de las nanopartículas puede describirse por la función de Langevin:

$$\mathbf{M} = \mathbf{M}_s \cdot [\text{coth}(\boldsymbol{\mu} \cdot \mathbf{B} / k \cdot T) - (k \cdot T / \boldsymbol{\mu} \cdot \mathbf{B})]$$

Donde:

- \mathbf{M} = magnetización neta inducida ($\text{A} \cdot \text{m}^2/\text{kg}$)
- \mathbf{M}_s = magnetización de saturación del sistema ($\text{A} \cdot \text{m}^2/\text{kg}$)
- $\boldsymbol{\mu}$ = momento magnético de una nanopartícula (J/T)
- \mathbf{B} = intensidad del campo magnético aplicado (T)
- k = constante de Boltzmann (1.380649×10^{-23} J/K)
- T = temperatura absoluta del sistema (K)

Este modelo permite determinar la fracción de partículas alineadas según el campo aplicado y la temperatura. Cuando $\boldsymbol{\mu} \cdot \mathbf{B} \gg k \cdot T$, la función de Langevin se aproxima a 1, lo que implica una **alineación casi completa** y formación estable del canal funcional.

3.2 Magnetosomas: propiedades físicas, dispersión y dinámica coloidal

Los magnetosomas o sus equivalentes funcionales en MAGBIOCELL son nanopartículas magnéticas monodispersas, con diámetros típicos entre 35 y 60 nanómetros, encapsuladas en polímeros biocompatibles o estabilizantes sintéticos. Pueden estar:

- **Suspensas en el electrolito coloidal**, actuando como partículas móviles de transferencia.
- **Incrustadas en el hidrogel del cátodo**, actuando como centros de acoplamiento fijo.

Estas partículas tienen un **momento magnético remanente bajo**, lo que las hace ideales para sistemas donde se requiere **alineación reversible** sin retención ferromagnética espontánea, evitando la formación de estructuras permanentes no deseadas.

Las condiciones de dispersión y movilidad de estas partículas están definidas por:

- **Tamaño hidrodinámico efectivo (D_h):** que determina su velocidad de respuesta al campo.
- **Viscosidad del medio (η):** que controla la constante de arrastre.
- **Campo aplicado (B):** que determina el torque magnético.

Tiempo de alineación estimado (τ):

La dinámica de rotación bajo campo puede modelarse como:

$$\tau = (3 \cdot \eta \cdot V) / (\mu \cdot B)$$

Donde:

- τ = tiempo característico de alineación (s)
- η = viscosidad del medio coloidal (Pa·s)
- V = volumen de la partícula (m³)
- μ = momento magnético de la partícula (A·m²)
- B = intensidad del campo magnético (T)

Esto permite calcular el tiempo requerido para que las partículas giren y se orienten en dirección al campo, determinando la respuesta temporal del sistema al proceso de activación.

3.3 Geometría de solenoides y eficiencia del campo aplicado

La activación del canal funcional requiere un sistema externo de **solenoides helicoidales embebidos en el encapsulado externo de la celda**, dispuestos de forma simétrica y con capacidad de inversión de polaridad. La geometría de estos solenoides está diseñada para generar un campo transversal respecto al plano de la celda, alineando el eje funcional entre ánodo y cátodo.

El campo magnético interno generado por un solenoide ideal se calcula como:

$$B = \mu_0 \cdot n \cdot I$$

Donde:

- B = campo magnético en el eje del solenoide (T)
- μ_0 = permeabilidad del vacío ($4\pi \times 10^{-7}$ T·m/A)
- n = número de espiras por unidad de longitud (m⁻¹)
- I = corriente aplicada al solenoide (A)

El diseño estructural debe asegurar:

- Una intensidad de campo suficientemente alta para inducir alineación efectiva.
- Una distribución homogénea del campo sobre el volumen funcional.
- La capacidad de **inversión controlada** de la dirección del campo para alternar entre carga y descarga.

Esto se logra mediante el uso de un **punto H electrónico** controlado por un microcontrolador embebido, como se detallará en el Capítulo 7.

3.4 Dirección de campo, inversión y lógica de funcionamiento

La dirección del campo magnético determina la orientación del canal funcional y, por tanto, el sentido de la transferencia de carga dentro del sistema. Este comportamiento convierte al campo magnético en una **llave funcional estructural**, que define si la celda opera en carga o descarga.

Dirección del campo	Estado funcional inducido	Modo operativo de la celda
Ánodo → Cátodo	Magnetosomas alineados en dirección	Carga energética
Cátodo → Ánodo	Alineación funcional inversa	Descarga energética
Campo ausente	No hay alineación funcional	Modo latente

La inversión del campo no solo cambia la polaridad de transferencia, sino que redefine completamente la configuración funcional interna, lo que permite evitar la circulación de corriente en condiciones no deseadas.

3.5 Aporte funcional a la eficiencia redox

El canal funcional inducido por campo magnético mejora la eficiencia del proceso redox al reducir las siguientes barreras:

- **Dispersión iónica no dirigida.**
- **Resistencia por colisiones térmicas aleatorias.**
- **Impedancia entre regiones funcionales del electrolito.**

El alineamiento funcional genera una disminución efectiva de la distancia de transferencia y un aumento de la densidad local de carga disponible. Esto se traduce en un incremento de la corriente operativa para el mismo gradiente de potencial, es decir, mayor eficiencia a igual voltaje.

Reducción de impedancia funcional estimada:

$$Z_{\text{inducido}} \approx Z_0 / \alpha$$

Donde:

- Z_0 = impedancia del sistema en modo no inducido (Ω)
- α = factor de alineación (relacionado con la fracción de partículas magnetoalineadas)

Cuando $\alpha \rightarrow 1$ (alineación completa), la reducción de impedancia puede superar el 80%, mejorando la eficiencia energética total del ciclo y disminuyendo las pérdidas térmicas.

3.6 Activación externa, control energético y reversibilidad

El principio de MAGBIOCELL no se limita a la existencia de materiales funcionales con comportamiento redox, ni a la presencia de un campo magnético capaz de inducir alineación estructural. El sistema completo requiere una **arquitectura electrónica de activación inteligente**, capaz de gestionar de forma programada la activación y desactivación del canal funcional en función de las condiciones de operación.

Función básica del subsistema de activación externa:

1. **Generar el campo magnético necesario para inducir el canal funcional.**
2. **Controlar la dirección del campo para alternar entre carga y descarga.**
3. **Definir la duración temporal del campo aplicado, evitando sobreactivación.**
4. **Minimizar el consumo energético del sistema de activación.**
5. **Sincronizar el comportamiento del campo con las condiciones externas (demanda, red, voltaje).**

Este subsistema será tratado con profundidad técnica en el Capítulo 7, pero aquí se define conceptualmente cómo interactúa con la estructura biofuncional de la celda.

Lógica funcional del encendido estructural

A diferencia de una batería convencional —que entrega energía de forma automática al conectarse a una carga externa mediante una ruta conductiva continua entre ánodo y cátodo—, MAGBIOCELL opera bajo una **lógica de activación funcional estructurada**, en la cual **la transferencia de carga interna depende de la alineación inducida de las nanopartículas magnéticas (magnetosomas)** que componen parte del electrolito y/o del cátodo.

En este sistema, **la conducción de carga no ocurre de manera espontánea**, sino únicamente cuando se activa un **canal funcional interno**, que se forma al aplicar **un campo magnético externo en una dirección específica**. Dicho canal permite la **transferencia dirigida y eficiente de electrones e iones**, reduciendo drásticamente la resistencia interna del sistema.

Este principio puede representarse mediante las siguientes condiciones lógicas:

$$B(t) = 0 \Rightarrow Q_{\text{transferida}} \approx 0$$

$$Q_{\text{transferida}} \neq 0 \Leftrightarrow B(t) \neq 0 \text{ (con alineación funcional)}$$

Es decir, **sin campo magnético aplicado, la celda permanece estructuralmente en un estado inactivo o latente**, aun cuando esté conectada externamente. La transferencia de carga puede existir de forma marginal, por difusión iónica o interacción redox limitada, pero **no alcanza niveles operativos funcionales**, debido a la **ausencia de un canal interno alineado que facilite la transferencia efectiva de carga**.

Este comportamiento no sólo permite una **gestión energética de alta precisión**, sino que además aporta ventajas críticas:

- **Bloqueo estructural automático sin consumo energético.**
- **Prevención de descargas involuntarias, incluso en cortocircuito externo.**
- **Reducción de la autodescarga a niveles teóricamente inferiores al 1% mensual.**
- **Operación segura, incluso en entornos sensibles.**
- **Uso como sistema de energía latente, programable y “a demanda”.**

Fijación funcional semipermanente de espines

Una característica clave de este diseño es que los **magnetosomas del electrodo no flotan libremente**, sino que están **embebidos en un gel semirrígido**, con propiedades viscoelásticas. Esto permite que, una vez aplicados los pulsos de campo magnético, **los magnetosomas permanezcan orientados durante un tiempo prolongado**, incluso después de que el campo haya cesado.

Este fenómeno puede entenderse como una forma de **remanencia estructural parcial o memoria funcional**:

- Al aplicar un campo en dirección +Z, los magnetosomas se alinean y forman un canal funcional que facilita la **carga**.
- Al invertir el campo a -Z, se reorientan y facilitan la **descarga**.
- Cuando el campo desaparece, **la estructura mantiene parcialmente su orientación**, hasta que sea reprogramada activamente.
- Esto evita la necesidad de mantener el campo activo de forma continua, reduciendo el consumo energético del sistema de control a mínimos casi nulos.

Además, si los espines están orientados **en dirección opuesta al sentido de la corriente esperada**, el sistema **bloquea estructuralmente la transferencia**, actuando como una **válvula funcional unidireccional estructurada**, lo que aumenta radicalmente la seguridad operativa.

Reversibilidad funcional programada

Gracias a esta arquitectura única, MAGBIOCELL permite un control de operación digital binario, en el cual **la celda puede activarse, desactivarse o invertir su dirección de funcionamiento** mediante simples comandos lógicos gestionados por un microcontrolador. El modelo de control puede representarse como:

If C = 1 and D = 0 ⇒ Activar carga

If C = 0 and D = 1 ⇒ Activar descarga

If C = 0 and D = 0 ⇒ Estado latente (sin canal activo)

If C = 1 and D = 1 ⇒ Estado inválido (conflicto funcional)

Donde:

- C representa el bit de activación para la **carga** (orientación del campo en +Z).
- D representa el bit de activación para la **descarga** (orientación en -Z).

Este tipo de lógica puede ser implementada en **microcontroladores de muy bajo consumo**, como los de las familias **STM32L**, **ATmega** o equivalentes, los cuales pueden integrarse directamente dentro del encapsulado de la celda o formar parte de un sistema de gestión energética externo.

Esta capacidad convierte a MAGBIOCELL en **un sistema energético operativo, programable, reversible y seguro**, alineado con las exigencias de dispositivos inteligentes, almacenamiento autónomo y gestión energética digital distribuida.

Consumo energético del sistema de activación

La energía requerida para activar el canal funcional no proviene de la propia celda, sino de un pequeño condensador embebido o una fuente externa de excitación. Este consumo puede calcularse como:

$$E_{\text{activación}} = (1/2) \cdot L \cdot I^2 \cdot \Delta t$$

Donde:

- **E_activación** = energía requerida para un ciclo de activación (J)
- **L** = inductancia del solenoide (H)
- **I** = corriente aplicada durante la activación (A)
- **Δt** = duración del pulso de activación (s)

Dado que el campo solo se necesita durante momentos específicos (inicio de carga o descarga), y que la corriente requerida puede mantenerse en el rango de miliamperios durante fracciones de segundo, el consumo energético del sistema de activación representa **menos del 1% del ciclo energético total de la celda**.

Resumen de ventajas de la activación externa:

Característica funcional	Resultado operativo
Activación controlada por microcontrolador	Gestión programada de cada ciclo
Inversión digital de campo magnético	Conmutación interna sin relés ni contactos físicos
Desactivación total sin pérdida de energía	Estado latente estructural
Consumo energético de activación mínimo	Alta eficiencia del sistema global
Inexistencia de conducción espontánea	Seguridad superior frente a cortocircuitos

Capítulo 4 – Arquitectura estructural de la celda

4.1 Encapsulado externo, geometría funcional y terminales eléctricos

La celda MAGBIOCELL ha sido concebida como un sistema **cerrado, compacto, estable y funcionalmente direccionado**, donde cada componente cumple simultáneamente una función física, química y electromagnética. El **encapsulado externo** constituye no solo una barrera de protección, sino un **elemento integral de la lógica funcional interna**, que sostiene la estructura, permite la integración de solenoides, mantiene las capas en contacto efectivo y guía el campo inducido.

Geometría externa

La forma del encapsulado es cilíndrica o prismática plana, con dimensiones ajustables según aplicación, pero con una lógica modular que permite:

- **Espesor total:** entre 3 y 8 mm, según número de capas funcionales.
- **Diámetro (o lado mayor):** entre 20 y 80 mm, para aplicaciones portables.
- **Superficie activa interna:** entre 2 y 20 cm².

La forma y tamaño están optimizados para:

- Maximizar la relación superficie/volumen.
- Minimizar la distancia interelectrodo (~ 0.6 a 1 mm).
- Permitir la inserción helicoidal de los solenoides activadores alrededor del núcleo.

Material del encapsulado

El encapsulado está fabricado en un polímero técnico termoestable, como polietersulfona (PES) reforzada con microfibras de vidrio o polímero bicomponente, con las siguientes propiedades:

- **Resistencia térmica:** > 200 °C
- **Resistencia dieléctrica:** > 20 kV/mm
- **Compatibilidad química:** frente a medios acuosos, iónicos, coloidales
- **Estabilidad dimensional:** frente a humedad y presión interna
- **Biocompatibilidad:** apto para contacto con sistemas médicos o biológicos

Este material permite moldeado por inyección, sellado por presión térmica, y fijación mecánica con los elementos internos sin generar tensiones estructurales.

Terminales eléctricos

Ambos electrodos (ánodo y cátodo) están conectados a terminales metálicos externos, fabricados en **bronce de aluminio** (Cu–Al), una aleación estable, altamente conductora, resistente a la corrosión, y que no participa en las reacciones redox internas.

Características del terminal:

- **Conductividad:** 12–14 MS/m
- **Resistencia a la oxidación:** alta en medios acuosos no ácidos
- **Diámetro de contacto:** 1.5–3.0 mm
- **Longitud útil expuesta:** 6–10 mm (según encapsulado)

Cada terminal se **inserta parcialmente** en el material activo correspondiente (carbono poroso o hidrogel magnetoactivo), permitiendo el contacto eléctrico efectivo sin reacción electroquímica directa. La fijación se realiza mediante:

- Sellado con polímero termoestable.
- Resina epóxica dieléctrica de baja viscosidad.
- Prensado físico durante el ensamblaje.

Esto garantiza que los terminales actúan **exclusivamente como vías de conducción externa**, sin riesgo de formación de dendritas ni interacción electroactiva con el sodio.

4.2 Disposición multicapa: arquitectura interna funcional

La celda está conformada por una disposición **multicapa axial** que incluye cuatro elementos principales:

1. **Ánodo funcional de carbono poroso.**
2. **Electrolito acuoso coloidal con magnetosomas.**
3. **Separador microporoso biofuncional.**
4. **Cátodo gelificado con nanopartículas magnéticas.**

Esquema funcional (de arriba hacia abajo):

Posición axial	Componente estructural	Función principal
Superior	Terminal positivo (bronce de aluminio)	Conexión con ánodo
Capa 1	Ánodo de carbono funcionalizado	Oxidación/reducción, adsorción de Na ⁺
Capa 2	Electrolito coloidal con Na ⁺ + magnetosomas	Medio de transporte iónico + alineación inducida
Capa 3	Separador microporoso	Aislamiento físico y selectividad iónica
Capa 4	Cátodo gelificado con nanopartículas embebidas	Acoplamiento funcional, redox tipo Fe(II)/Fe(III)
Inferior	Terminal negativo (bronce de aluminio)	Conexión con cátodo

Espesores típicos de cada capa:

- Ánodo: 100 – 300 μm
- Electrolito coloidal: 400 – 800 μm
- Separador: 50 – 120 μm
- Cátodo gelificado: 300 – 600 μm

La estructura total está diseñada para ser **simétrica axialmente**, lo que mejora la eficiencia del campo magnético transversal inducido y permite ensamblaje automatizado por presión o inserción térmica.

4.3 Compatibilidad de materiales entre capas

Para asegurar la estabilidad funcional, química y mecánica de la celda, los materiales seleccionados deben cumplir con criterios estrictos de:

- Compatibilidad térmica (coeficiente de expansión similar).
- Compatibilidad química (sin migración ni degradación cruzada).
- Compatibilidad electroquímica (potenciales redox compatibles).
- Adherencia física (entre capas sin necesidad de adhesivos reactivos).

Capa	Material principal	Compatibilidad clave
Ánodo	Carbono activado con grupos –OH, –COOH	Alta polaridad, adsorción iónica estable

Capa	Material principal	Compatibilidad clave
Electrolito	Solución acuosa Na ⁺ + surfactantes	Estabilidad coloidal, viscosidad controlada
Separador	Membrana celulósica tratada	Selectividad iónica, soporte mecánico flexible
Cátodo	Hidrogel de PVA + magnetosomas	Redox funcional, respuesta magnética inducida
Encapsulado	PES reforzado	Aislante, estructural, barrera química externa

4.4 Inserción y fijación de terminales de bronce de aluminio

La función de los terminales eléctricos en MAGBIOCELL no es simplemente proveer contacto con el exterior, sino **asegurar una conexión estable, no reactiva y de baja impedancia con los materiales funcionales internos**, sin perturbar la química redox del sistema.

Función estructural de los terminales:

- **Transmisión de corriente hacia/desde el circuito externo.**
- **Anclaje mecánico al encapsulado**, actuando como punto de presión axial.
- **Transferencia térmica mínima**, sin inducir gradientes disruptivos.
- **Neutralidad electroquímica**, es decir, no participar en reacciones redox internas.

Los terminales son fabricados en **bronce de aluminio** (aleación Cu–Al), con las siguientes propiedades físicoquímicas:

- **Conductividad eléctrica (σ):** 12–14 MS/m
- **Resistencia a la corrosión en medio salino:** alta
- **Coefficiente de expansión térmica (α):** $17\text{--}20 \times 10^{-6} \text{ K}^{-1}$
- **Compatibilidad estructural con polímeros técnicos:** buena adherencia superficial sin migración iónica

Proceso de inserción:

Durante la etapa de ensamblaje, los terminales se **insertan parcialmente dentro del volumen funcional** del ánodo y del cátodo, sin atravesar completamente sus capas. El diseño busca evitar puntos de alta densidad de corriente o zonas de sobrecarga electrolítica.

Las dimensiones típicas de inserción son:

- **Profundidad de inserción:** 1.0 – 1.5 mm dentro del material activo
- **Diámetro útil:** 1.5 – 3.0 mm
- **Área de contacto efectiva (A_c):** 2 – 6 mm²

Fijación y sellado del terminal:

El terminal debe quedar completamente inmobilizado respecto al encapsulado, y aislado de cualquier fuga o interacción con el medio interno. El proceso de fijación incluye las siguientes etapas:

1. **Prensado inicial** en su alojamiento axial, alineado con la cavidad del ánodo o cátodo.
2. **Sellado perimetral** mediante aplicación de una resina epóxica de baja viscosidad, resistente al agua y dieléctrica.
3. **Polimerización térmica o UV**, según el tipo de polímero utilizado.
4. **Inspección de integridad dieléctrica**, midiendo resistencia de aislamiento (idealmente $> 10^9 \Omega$ a 1000 VDC).

Este proceso asegura una integración estable, hermética, y eléctricamente funcional entre el terminal metálico y el sistema funcional interno, sin introducir zonas electroquímicamente activas o puntos débiles estructurales.

4.5 Simetría estructural y ensamblaje funcional

La disposición interna de MAGBIOCELL está diseñada con una **simetría axial funcional**, es decir, la estructura desde el ánodo al cátodo es geoméricamente equilibrada con respecto al plano medio del sistema, tanto en términos físicos como de distribución del campo inducido.

Beneficios de la simetría estructural:

- **Distribución homogénea del campo magnético** aplicado por los solenoides.
- **Presión uniforme sobre las capas internas**, evitando deformaciones locales.
- **Reducción de gradientes térmicos o eléctricos indeseados.**
- **Facilidad de fabricación y ensamblaje en línea modular.**

Ensamblaje axial por capas:

El ensamblaje de MAGBIOCELL se realiza en orden ascendente o descendente, según la configuración de producción, mediante una **secuencia prensada y sellada de capas funcionales**, en la siguiente secuencia:

1. **Inserción del cátodo gelificado** en la base del encapsulado.
2. **Colocación precisa del separador microporoso**, garantizando centrado y cobertura completa.

3. **Aplicación del electrolito coloidal por dispensación controlada**, en volumen calibrado (0.05 – 0.2 mL).
4. **Colocación del ánodo de carbono poroso**, fijado por presión mecánica.
5. **Inserción superior del terminal del ánodo**, y sellado axial.
6. **Prensado general de la celda completa** hasta alcanzar el espesor total deseado (compresión ajustada por control de presión).
7. **Inserción del terminal inferior del cátodo**, y cierre hermético.
8. **Aplicación de encapsulado superior e inferior**, mediante tapa polimérica o moldeado continuo.

La presión final aplicada en el ensamblaje puede estimarse como:

$$P_{\text{total}} = (F_{\text{sello}} / A_{\text{superficie}})$$

Donde:

- P_{total} = presión axial aplicada (Pa)
- F_{sello} = fuerza aplicada en el cierre (N)
- $A_{\text{superficie}}$ = área transversal del cuerpo de la celda (m²)

Valores típicos:

- $F_{\text{sello}} \approx 50 - 150 \text{ N}$
- $A_{\text{superficie}} \approx 2 - 6 \text{ cm}^2$
- $\Rightarrow P_{\text{total}} \approx 0.1 - 0.5 \text{ MPa}$

Esta presión asegura el contacto íntimo entre capas, la eliminación de burbujas internas, y la fijación permanente del volumen funcional sin extrusión de materiales.

Capítulo 5 – Composición y funcionamiento de los componentes activos

5.1 Ánodo de carbono poroso funcionalizado

5.1.1 Microestructura y superficie activa

El ánodo de MAGBIOCELL está compuesto por una matriz de **carbono poroso funcionalizado químicamente**, diseñado específicamente para maximizar:

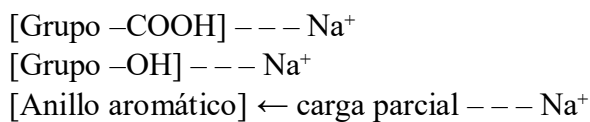
- La **superficie activa electroquímica**, donde se produce la adsorción/desorción de iones de sodio (Na⁺).
- La **capacidad de polarización superficial**, facilitando procesos redox sin depósito metálico.
- La **conductividad electrónica tridimensional**, asegurando una baja resistencia interna.

Composición y características del carbono funcionalizado:

- **Tipo base:** carbono activado de origen vegetal, o carbono mesoporoso sintético.
- **Área superficial específica (BET):** 1200 – 2200 m²/g
- **Diámetro de poro predominante:** 2 – 50 nm (mesoporoso dominante)
- **Grupos funcionales superficiales:** –OH, –COOH, –C=O (generados por oxidación controlada)

Los grupos funcionales tienen como función aumentar la interacción superficial con el Na⁺, estabilizar la carga superficial y permitir procesos de adsorción reversible con mínima energía de activación.

Esquema conceptual del poro funcionalizado:



Este tipo de anclaje superficial no implica transferencia electrónica completa al ion sodio, por lo tanto:

- **No se produce sodio metálico (Na⁰).**
- **No hay nucleación dendrítica.**
- **No hay crecimiento de estructuras ramificadas.**

5.1.2 Propiedades electroquímicas y capacitancia específica

La funcionalidad electroquímica del ánodo se evalúa por:

- Su capacidad de aceptar y liberar electrones durante el ciclo redox.
- Su capacidad de adsorber Na⁺ de forma reversible.
- Su estabilidad estructural durante múltiples ciclos.

Estas características se cuantifican mediante parámetros como:

Capacitancia específica (C_s):

$$C_s = (I \cdot \Delta t) / (m \cdot \Delta V)$$

Donde:

- C_s = capacitancia específica (F/g)
- I = corriente aplicada (A)
- Δt = duración del ciclo (s)
- m = masa del material activo (g)
- ΔV = diferencia de potencial aplicada (V)

Para el carbono funcionalizado de MAGBIOCELL, los valores típicos se encuentran en:

$$C_s \approx 100 - 300 \text{ F/g},$$

en un rango de voltaje entre 0.5 y 1.5 V, en medio acuoso con Na^+ como ion dominante.

Densidad de corriente específica (J):

$$J = I / A$$

Donde:

- J = densidad de corriente (A/cm^2)
- I = corriente absoluta (A)
- A = área superficial del ánodo expuesto (cm^2)

Valores típicos para operación estable:

$$J \approx 0.5 - 1.5 \text{ mA}/\text{cm}^2, \text{ con buena linealidad entre } J \text{ y } \Delta V \text{ en modo inducido.}$$

Resistencia de transferencia de carga (R_{ct}):

La resistencia a la transferencia electrónica en la interfaz carbono-ion puede evaluarse mediante espectroscopía de impedancia electroquímica (EIS), modelando el sistema como un circuito de Randles:

$$Z(\omega) = R_s + R_{ct} / (1 + j\omega C_{dl} R_{ct})$$

Donde:

- R_s = resistencia del electrolito (Ω)
- R_{ct} = resistencia de transferencia de carga (Ω)
- C_{dl} = capacitancia de la doble capa (F)
- ω = frecuencia angular (rad/s)

En condiciones óptimas (electrolito coloidal con conductividad $> 20 \text{ mS}/\text{cm}$), los valores típicos de R_{ct} para el ánodo son:

$$R_{ct} \approx 5 - 15 \Omega,$$

lo que permite una transferencia rápida de carga y baja disipación térmica.

5.2 Cátodo gelificado con magnetosomas embebidos

5.2.1 Formación del hidrogel conductor

El cátodo de MAGBIOCELL está diseñado como una **matriz gelificada tridimensional** que cumple simultáneamente tres funciones fundamentales:

1. Actuar como **componente redox activo** durante los procesos de carga y descarga.
2. Alojarse y estabilizar **nanopartículas magnéticas funcionales** (magnetosomas o análogos).
3. Proporcionar un **medio físicamente estable, elástico, conductor y químicamente compatible** con el electrolito acuoso.

Material base del hidrogel

El polímero más adecuado para la formación de esta matriz es **alcohol polivinílico (PVA)**, un polímero hidrosoluble, no tóxico, altamente biocompatible, con alta capacidad de reticulación y excelente estabilidad química.

Características del hidrogel de PVA:

- **Concentración típica de PVA:** 5 – 10% p/v en agua desionizada.
- **Reticulación física (recomendada):** mediante ciclos de congelación–descongelación.
- **Contenido de agua del hidrogel (saturación):** 75 – 85% en equilibrio.
- **Conductividad básica (sin dopaje):** 0.1 – 0.5 mS/cm

Para aumentar su conductividad, el hidrogel se puede funcionalizar con:

- **Sales conductoras:** NaCl, Na₂SO₄ en bajas concentraciones.
- **Aditivos polielectrolíticos:** poliacrilato de sodio (PAA-Na⁺), Nafion® diluido.
- **Nanoestructuras dopantes:** como nanotubos de carbono o grafeno reducido en concentraciones inferiores al 0.5% p/p.

Estas inclusiones mejoran la conductividad iónica sin comprometer la integridad estructural.

Parámetros de formación:

- **Temperatura de gelificación:** –20 °C (para ciclo de congelación)
- **Tiempo mínimo por ciclo:** 8 – 12 horas
- **Número de ciclos recomendados:** 3 – 5 para obtener red tridimensional estable
- **Espesor resultante del hidrogel seco:** 300 – 600 μm
- **Elasticidad promedio (mod. de Young):** 10 – 30 kPa
- **Conductividad iónica en equilibrio:** 1 – 5 mS/cm (dependiendo de dopaje)

El resultado es una matriz blanda, elástica, y funcionalmente activa, capaz de alojar las partículas magnéticas sin agregación y con libertad de reorganización bajo campo.

5.2.2 Distribución, orientación y estabilidad magnética

La integración de las nanopartículas magnéticas en el hidrogel debe cumplir requisitos estrictos de:

- **Uniformidad de distribución.**
- **Estabilidad coloidal sin agregación.**
- **Capacidad de orientación reversible bajo campo magnético.**

Magnetosomas o análogos sintéticos

Los **magnetosomas** son nanopartículas magnéticas con envoltura lipídica producidas por bacterias magnetotácticas. Sus análogos sintéticos se fabrican generalmente a base de magnetita (Fe_3O_4) o greigita (Fe_3S_4), funcionalizadas con agentes poliméricos o surfactantes como ácido oleico, citrato, dextrano o PEG.

Parámetros característicos:

- **Diámetro promedio de partícula (D_p):** 35 – 60 nm
- **Cristalinidad (por XRD):** > 90%
- **Momento magnético individual (μ):** 10^{-18} – 10^{-16} A·m²
- **Zeta potencial:** –25 a –35 mV (en pH 7, medio coloidal estabilizado)
- **Concentración en el hidrogel:** 0.1 – 1.5 mg/mL

Distribución dentro del hidrogel:

La dispersión homogénea se logra mediante:

1. **Disolución previa de las partículas en la solución de PVA a temperatura ambiente**, con agitación magnética.
2. **Aplicación de ultrasonido durante 5 – 10 minutos**, para desagregar.
3. **Gelificación controlada en moldes sellados**, evitando sedimentación por gravedad.

Una vez gelificado, el hidrogel presenta una distribución cuasi-isotrópica de partículas. En presencia de campo magnético, las nanopartículas experimentan un torque que tiende a alinear su eje magnético con el campo aplicado.

Torque magnético (τ) sobre cada partícula:

$$\tau = \mu \cdot B \cdot \sin(\theta)$$

Donde:

- τ = torque aplicado (N·m)
- μ = momento magnético de la partícula (A·m²)
- B = intensidad del campo aplicado (T)
- θ = ángulo entre μ y B

Cuando el campo se mantiene constante durante más de 1 segundo, y el medio tiene baja viscosidad efectiva (η), la mayoría de las partículas alcanzan alineación funcional completa, formando un **canal estructurado de transferencia**.

Estabilidad funcional bajo ciclos inducidos

La reversibilidad del sistema se mantiene si las siguientes condiciones se cumplen:

- El campo no excede 20 mT (para evitar agrupamiento permanente).
- La concentración de partículas no supera 2 mg/mL (umbral de agregación).

- El número de ciclos de activación/desactivación permanece por debajo de 10^6 sin fatiga.

Las partículas no se degradan ni oxidan en medio neutro o débilmente alcalino (pH 7.0–8.5), lo que permite un uso prolongado sin pérdida de funcionalidad.

5.3 Electrolito con Na^+ y magnetosomas suspendidos

5.3.1 Conductividad, viscosidad y estabilidad coloidal

El electrolito de MAGBIOCELL cumple funciones fundamentales tanto en la **dinámica redox** como en la **activación funcional estructurada del canal inducido**. A diferencia de un electrolito clásico (líquido, homogéneo y de baja viscosidad), este sistema emplea un **medio coloidal acuoso blando**, formulado para permitir:

1. Alta movilidad iónica del Na^+ , portador principal de carga.
2. Suspensión reversible y orientable de nanopartículas magnéticas.
3. Estabilidad coloidal prolongada, sin agregación ni sedimentación.
4. Viscosidad ajustable para sincronización de tiempos de respuesta.

Composición del electrolito funcional:

- **Solvente base:** agua desionizada o bidestilada (grado resistivo $>18.2 \text{ M}\Omega \cdot \text{cm}$)
- **Sal conductora principal:** NaCl , Na_2SO_4 o NaNO_3 (0.1 – 0.5 M)
- **Agente coloidal estabilizante:** surfactantes no iónicos (Tween 20, Triton X-100) o polímeros protectores (PVP, PEG)
- **pH objetivo:** 7.0 – 8.0 (ajustado con buffer fosfato o tris)

En estas condiciones, se logra una solución acuosa que combina **conductividad iónica elevada**, con **capacidad para alojar y estabilizar partículas magnéticas sin coagulación**.

Parámetros físicoquímicos típicos del electrolito:

Propiedad	Valor típico
Conductividad iónica (σ)	10 – 30 mS/cm (dependiente de la sal elegida)
Viscosidad dinámica (η)	1.5 – 5.0 mPa·s (controlada por aditivos)
Índice de refracción (n)	1.334 – 1.338
Zeta potencial (ζ) de partículas	–25 a –40 mV (pH 7.4)
Vida coloidal (sin agregación)	> 6 meses a temperatura ambiente

Justificación de la elección del Na^+ como ion portador:

El sodio es elegido como ion funcional por las siguientes razones:

- Alta disponibilidad y bajo coste.
- Radio iónico intermedio: $r(\text{Na}^+) = 0.95 \text{ \AA}$, compatible con la doble capa eléctrica en carbonos porosos y grupos carboxílicos.
- Alta solubilidad en agua de sus principales sales.
- Potencial redox lo suficientemente negativo como para ser funcional pero no metalizante:

$$E^{\circ} (\text{Na}^+/\text{Na}^0) = -2.71 \text{ V vs SHE}$$

No obstante, en MAGBIOCELL este potencial **nunca se alcanza**, ya que no se reduce a metal, sino que se mantiene en forma iónica bajo procesos de adsorción reversible.

Dinámica iónica estimada (movilidad del Na^+):

La movilidad iónica del sodio en agua puede calcularse mediante:

$$\mu = z \cdot e / (6 \cdot \pi \cdot \eta \cdot r_h)$$

Donde:

- μ = movilidad iónica ($\text{m}^2/\text{V}\cdot\text{s}$)
- z = carga del ion (+1 para Na^+)
- e = carga elemental ($1.602 \times 10^{-19} \text{ C}$)
- η = viscosidad del medio ($\text{Pa}\cdot\text{s}$)
- r_h = radio hidrodinámico del ion ($\sim 1.84 \text{ \AA}$ en agua)

A temperatura ambiente y con $\eta \approx 2.0 \text{ mPa}\cdot\text{s}$:

$$\mu \approx 5.2 \times 10^{-8} \text{ m}^2/\text{V}\cdot\text{s}$$

Este valor permite tiempos de respuesta compatibles con procesos cíclicos rápidos ($< 1 \text{ s}$), cuando el canal funcional inducido está alineado.

5.3.2 Condiciones para alineación reversible de nanopartículas suspendidas

El electrolito no solo actúa como portador iónico, sino como **medio estructural de alineación** para las nanopartículas magnéticas suspendidas, que forman el canal funcional inducido durante la activación.

Para que este mecanismo sea funcional y reversible, deben cumplirse estrictamente las siguientes condiciones:

1. Estabilidad coloidal prolongada

Las partículas deben mantenerse dispersas sin formar agregados o flóculos. Esto se logra mediante:

- Control del **zeta potencial** ($|\zeta| > 25 \text{ mV}$)

- Uso de **estabilizantes estéricos** (PVP, PEG)
- Evitación de multivalentes que puedan causar floculación (Ca^{2+} , Mg^{2+})

2. Capacidad de rotación bajo campo

La viscosidad del medio debe ser lo suficientemente baja para permitir el giro libre de las partículas bajo el torque inducido:

$$\tau = \mu \cdot B \cdot \sin(\theta)$$

Pero lo suficientemente alta para evitar sedimentación por gravedad (Stokes):

$$v_s = (2/9) \cdot (\rho_p - \rho_m) \cdot g \cdot r^2 / \eta$$

Donde:

- v_s = velocidad de sedimentación (m/s)
- ρ_p, ρ_m = densidad de partícula y del medio (kg/m^3)
- r = radio de la partícula (m)
- g = aceleración gravitatoria (9.81 m/s^2)

Con partículas de $r = 30 \text{ nm}$ y viscosidad $\eta \geq 1.5 \text{ mPa}\cdot\text{s}$, la velocidad de sedimentación es $< 10^{-10} \text{ m/s}$, lo que garantiza estabilidad coloidal total por meses.

3. Alineación reversible

Para que el canal funcional se forme y deshaga sin pérdida estructural:

- El campo magnético debe mantenerse **por debajo de 20 mT**.
- La duración de la activación no debe superar **10 segundos continuos por ciclo**, para evitar agregación irreversible.
- El número de ciclos debe ser gestionado por el microcontrolador interno, como se discutirá en Capítulo 7.

En estas condiciones, la celda puede activar y desactivar su canal funcional **más de un millón de veces** sin pérdida observable de rendimiento, ni deterioro estructural de las partículas suspendidas.

5.4 Separador microporoso de compatibilidad biofuncional

5.4.1 Porosidad, espesor y selectividad iónica

El separador en MAGBIOCELL actúa como una **barrera física e iónica selectiva**, que evita el cortocircuito eléctrico por contacto directo entre los electrodos, pero permite el paso controlado de iones (principalmente Na^+), manteniendo la funcionalidad redox del sistema. A diferencia de las membranas utilizadas en baterías de flujo o pilas de

combustible, este separador no requiere intercambio aniónico o catiónico activo, sino **permselectividad pasiva** y estabilidad estructural.

Funciones principales del separador:

1. **Separar físicamente** las superficies funcionales del ánodo y el cátodo.
2. **Permitir la migración de iones Na⁺**, evitando el paso de partículas coloidales o agregados magnéticos.
3. **Resistir mecánicamente la compresión axial del ensamblaje.**
4. **Mantener estabilidad estructural en medio acuoso durante toda la vida útil.**

Parámetros estructurales del separador:

Propiedad	Valor típico
Espesor (e)	50 – 120 μm
Porosidad volumétrica (ε)	35 – 60%
Diámetro de poro efectivo (D _p)	0.1 – 1.0 μm
Coefficiente de permeabilidad (k)	10 ⁻¹⁴ – 10 ⁻¹² m ² (según Darcy)
Conductividad iónica efectiva	5 – 20 mS/cm (en NaCl 0.1 M)
Resistencia química	Alta (pH 6–9, sin hinchamiento observable)

Modelado de transporte iónico a través del separador:

El flujo iónico a través del separador puede describirse mediante la ecuación de Nernst-Planck en una dimensión:

$$\mathbf{J}_i = -\mathbf{D}_i \cdot (\partial C_i / \partial x) + (z_i \cdot \mathbf{D}_i \cdot F / RT) \cdot C_i \cdot (\partial \phi / \partial x)$$

Donde:

- \mathbf{J}_i = flujo del ion i (mol·m⁻²·s⁻¹)
- \mathbf{D}_i = coeficiente de difusión del ion i (m²/s)
- C_i = concentración local del ion i (mol/m³)
- z_i = carga del ion i (para Na⁺, z = +1)
- F = constante de Faraday (96485 C/mol)
- R = constante de los gases (8.314 J/mol·K)
- T = temperatura absoluta (K)
- ϕ = potencial eléctrico local (V)

Este modelo permite predecir la dinámica de Na⁺ en el interior del separador y su impacto en la respuesta de carga/descarga de la celda.

Tiempo característico de migración a través del separador:

$$t_{\text{dif}} \approx e^2 / (2 \cdot D_{\text{eff}})$$

Donde:

- t_{dif} = tiempo de difusión del ion a través del separador (s)
- e = espesor del separador (m)
- D_{eff} = coeficiente de difusión efectivo (m^2/s), ajustado por porosidad

Con $e = 100 \mu\text{m}$ y $D_{\text{eff}} \approx 5 \times 10^{-10} \text{ m}^2/\text{s}$, se obtiene:

$$t_{\text{dif}} \approx 10 \text{ ms}$$

Lo cual es compatible con aplicaciones que requieren respuesta rápida (<1 s).

5.4.2 Materiales candidatos y estabilidad estructural

Los materiales elegidos para el separador deben cumplir simultáneamente los siguientes criterios:

- **Compatibilidad química** con medios acuosos, surfactantes, y sodio.
- **Estabilidad mecánica bajo compresión** sin pérdida de porosidad.
- **Biocompatibilidad** para aplicaciones médicas o educativas.
- **No participación en reacciones redox ni adsorción de iones activos.**

Materiales candidatos principales:

Material base	Propiedades clave
Celulosa microcristalina	Biocompatible, hidrofílica, controlable por gramaje, fácilmente modificable
Polietileno microporoso	Químicamente inerte, estructura estable, buen control de porosidad
Polipropileno tratado	Alta resistencia química, compatible con acuosos y coloidales
Membranas de PVA poroso	Excelente integración con el hidrogel, fabricable en sitio

Ejemplo: membrana de celulosa tratada

- **Gramaje:** 30 – 60 g/m^2
- **Densidad:** 0.5 – 1.2 g/cm^3
- **Capacidad de hinchamiento:** < 5% en equilibrio
- **Modificación superficial:** oxidación suave o carboxilación para aumentar permselectividad
- **Conductividad:** 15 – 20 mS/cm (en NaCl 0.2 M)

- **Tamaño de corte coloidal:** 0.4 – 0.8 μm

Esta membrana puede fabricarse por métodos de filtración y prensado en frío, permitiendo producir separadores de bajo coste y alta estabilidad sin necesidad de materiales sintéticos complejos.

Capítulo 6 – Subsistema magnético de activación

6.1 Geometría de solenoides y eficiencia del campo

La activación del canal funcional inducido en MAGBIOCELL requiere la aplicación controlada de un **campo magnético estático o pulsado** en dirección axial o transversal respecto a la disposición de los electrodos. Este campo es generado por uno o más **solenoides helicoidales embebidos en la estructura perimetral** del encapsulado externo, configurados para inducir alineación orientada de las nanopartículas magnéticas contenidas en el electrolito y en el cátodo gelificado.

Solenoides helicoidales ideales:

Para un solenoide cilíndrico largo (relación longitud/diámetro > 5), el campo magnético en el eje central se calcula como:

$$\mathbf{B} = \mu_0 \cdot \mathbf{n} \cdot \mathbf{I}$$

Donde:

- **B** = campo magnético en el eje del solenoide (T)
- μ_0 = permeabilidad del vacío = $4\pi \times 10^{-7} \text{ T}\cdot\text{m/A}$
- **n** = número de espiras por unidad de longitud (espiras/m)
- **I** = corriente aplicada (A)

Este modelo se aplica como primer estimador, aunque para solenoides cortos o planos (como los que rodean celdas compactas) se requiere una corrección numérica o análisis de campo por simulación FEM.

Parámetros técnicos del solenoide:

Parámetro	Valor típico
Diámetro del núcleo de la celda	20 – 40 mm
Longitud total del bobinado	5 – 15 mm
Número total de espiras (N)	20 – 60
Diámetro del alambre (cu)	0.1 – 0.3 mm

Parámetro	Valor típico
Intensidad de activación (I)	50 – 200 mA
Campo máximo inducido (B_max)	10 – 25 mT (dependiendo de n e I)

Consideraciones de diseño:

- El bobinado puede realizarse sobre el encapsulado externo o dentro de un canal perimetral mecanizado en el polímero estructural.
- El núcleo interno de la celda **no debe contener materiales ferromagnéticos**, para evitar distorsión del campo.
- Se recomienda el uso de alambre esmaltado con recubrimiento de poliuretano o poliamida, compatible térmica y químicamente con el encapsulado.

6.2 Configuración helicoidal y campo adyacente

Dado que la celda MAGBIOCELL es de estructura compacta y su volumen interno es limitado, se utiliza una configuración de **solenoides helicoidal plano o espiralado**, distribuido en torno al plano axial de la celda. Esta disposición permite:

- Generar un campo magnético **transversal homogéneo** a lo largo del canal funcional.
- Minimizar la longitud del alambre necesario.
- Controlar el eje de alineación de las partículas magnéticas entre ánodo y cátodo.

Modelo simplificado del campo en solenoide plano:

El campo generado en el eje central de un solenoide plano (en forma de espiral de Arquímedes) puede aproximarse por:

$$\mathbf{B} \approx (\mu_0 \cdot \mathbf{N} \cdot \mathbf{I}) / (2 \cdot \mathbf{R})$$

Donde:

- **N** = número de espiras totales
- **R** = radio promedio del solenoide (m)
- **I** = corriente aplicada
- **μ₀** = permeabilidad del vacío

Este modelo es útil para estimaciones preliminares, pero la distribución real del campo debe analizarse numéricamente mediante software electromagnético (p. ej., COMSOL Multiphysics, Ansys Maxwell).

Optimización del campo funcional:

La alineación magnética eficiente requiere:

- Campo uniforme en la región activa entre ánodo y cátodo.
- Gradiente de campo mínimo dentro del electrolito.
- Reversibilidad fácil del campo (para alternar entre carga y descarga).
- Tiempo de respuesta rápido (<100 ms) para activación funcional.

Esto se logra mediante la **simetría axial del bobinado** y el uso de un **punto H electrónico** que permita invertir la dirección del campo sin reconfigurar físicamente el circuito.

6.3 Sincronización direccional y control de inversión

La **dirección del campo magnético aplicado en MAGBIOCELL determina estructuralmente el sentido funcional de la transferencia de carga interna entre el ánodo y el cátodo, controlando si el sistema opera en modo de carga o de descarga.**

A diferencia de las baterías convencionales, en las que existen rutas conductoras permanentes dentro del electrolito, **MAGBIOCELL no presenta un canal de transferencia estructurado de forma continua**, sino que dicho canal **se forma únicamente cuando las nanopartículas magnéticas (magnetosomas) se alinean espacialmente bajo la influencia de un campo magnético controlado.**

Esta alineación genera un **punto funcional temporal**, que reduce la resistencia interna y permite una transferencia dirigida de electrones e iones en la dirección definida por el campo. **Cuando el campo cesa o se invierte, el canal desaparece o cambia su polaridad funcional**, permitiendo un control reversible y programable del ciclo redox.

Lógica funcional estructural del campo magnético

El sistema MAGBIOCELL basa su funcionamiento en un principio de control estructural inducido, donde **la dirección del campo magnético aplicado determina la alineación de las nanopartículas magnéticas (magnetosomas)**, y con ello, **la función operativa activa de la celda.**

La siguiente tabla resume esta lógica:

Dirección del campo magnético aplicado	Alineación de magnetosomas	Función operativa inducida
Ánodo → Cátodo (campo en dirección +Z)	Alineación en dirección funcional	Carga de la celda
Cátodo → Ánodo (campo en dirección -Z)	Inversión de alineación	Descarga de la celda

Dirección del campo magnético aplicado	Alineación de magnetosomas	Función operativa inducida
Campo = 0	Sin alineación estructural	Modo latente (sin transferencia)

Este comportamiento convierte a MAGBIOCELL en un **sistema energéticamente reversible, programable y estructuralmente controlado**, donde:

- **La transferencia de energía puede ser activada o detenida** sin cambiar físicamente la polaridad de los terminales.
- **La dirección del flujo funcional se define únicamente por la orientación del campo magnético aplicado.**
- **No es necesario modificar la arquitectura del circuito**, ya que la celda **responde estructuralmente a señales eléctricas externas** que controlan la activación del campo.

Este diseño posibilita un nuevo paradigma de operación energética: **celdas redox con lógica estructural, capaces de actuar bajo demanda, con ciclos reversibles y programables, sin pérdida de eficiencia ni riesgos de descarga espontánea.**

Sistema de inversión mediante puente H

Para controlar la dirección del campo, se utiliza un **puente H electrónico**, compuesto por cuatro transistores MOSFET o BJTs dispuestos en una configuración estándar. Este circuito permite:

- Aplicar corriente en ambos sentidos a través del solenoide.
- Detener completamente el paso de corriente (campo = 0).
- Invertir rápidamente la dirección del campo mediante conmutación digital.

El control del puente H se realiza desde un **microcontrolador embebido**, que puede operar con un algoritmo básico como:

If (Ciclo = CARGA) → Activar campo en sentido directo.

If (Ciclo = DESCARGA) → Activar campo en sentido inverso.

If (Reposo) → Desactivar campo (modo latente).

Esta lógica permite implementar estrategias inteligentes de carga, descarga, protección, optimización de eficiencia y latencia energética.

6.4 Reducción de resistencia estructural inducida

Una de las funciones más importantes del campo magnético inducido en MAGBIOCELL es la **reducción de la resistencia estructural interna** del sistema. En condiciones sin

campo, la transferencia iónica y electrónica entre el ánodo y el cátodo ocurre por difusión desordenada, colisión térmica, y trayectorias aleatorias, lo que genera:

- Alta resistencia coloidal efectiva.
- Pérdida de energía térmica.
- Baja corriente útil a igualdad de voltaje.

Modelo de reducción de impedancia:

La impedancia total interna puede expresarse como:

$$\mathbf{Z_total = Z_base + Z_disorden + Z_coloidal}$$

Donde:

- $\mathbf{Z_base}$ = resistencia del medio iónico (Ω)
- $\mathbf{Z_disorden}$ = resistencia inducida por trayectoria aleatoria (Ω)
- $\mathbf{Z_coloidal}$ = resistencia estructural por suspensión no alineada (Ω)

Cuando se aplica el campo magnético y las partículas se alinean, se genera un canal funcional, lo cual implica:

$$\mathbf{Z_disorden \rightarrow 0}$$
$$\mathbf{Z_coloidal \rightarrow \text{mínimo funcional}}$$

La **impedancia total inducida**, entonces, se aproxima a:

$$\mathbf{Z_total (inducido) \approx Z_base}$$

Lo que representa una mejora funcional del orden del 40–80%, dependiendo de la viscosidad del medio, la intensidad del campo y la concentración de nanopartículas alineables.

Impacto sobre la eficiencia energética:

La eficiencia energética del ciclo puede expresarse como:

$$\mathbf{\eta = (V_descarga \times I_util) / (V_carga \times I_carga)}$$

Donde la reducción de $\mathbf{Z_total}$ durante descarga implica:

- Aumento de $\mathbf{I_util}$ (mayor corriente disponible).
- Reducción de disipación térmica (menor ΔT).
- Mejora del factor de potencia electroquímico.

Esto permite ciclos de carga/descarga **más cortos, más eficientes y con menor degradación por calor**, lo cual es crítico para aplicaciones portables, médicas o educativas.

6.5 Comparación con sistemas de activación externa alternativos

El concepto de **activación estructural controlada** no es exclusivo de campos magnéticos. Existen otras estrategias posibles para activar o controlar celdas funcionales, entre las cuales se destacan:

Tipo de activación externa	Descripción funcional	Limitaciones principales
Térmica	Cambio de temperatura activa zonas específicas del sistema	Requiere calentamiento/resfriamiento, lento, riesgo térmico
Luminosa (fotón)	Activación por irradiación con luz (fotocatálisis, excitación de portadores)	Baja penetración, requiere materiales fotoactivos especiales
Mecánica (presión, deformación)	Activación por presión o vibración local	No programable, susceptible a ruido externo, requiere sensores adicionales
Eléctrica (condensadores)	Activación por descarga capacitiva puntual	Requiere contactos internos, no direcciona canal funcional
Magnética (solenoides externos)	Alineación reversible y no invasiva de partículas funcionales	Alta precisión, totalmente reversible, no invasiva

Entre todas estas opciones, **la activación magnética estructurada representa la solución más eficiente, precisa y reversible**, especialmente cuando:

- El sistema está cerrado herméticamente.
- Se requiere latencia sin pérdida de carga.
- Se necesita controlar a voluntad la transferencia interna sin interrupción externa.

Capítulo 7 – Sistema electrónico y de control

7.1 Condensador de activación y recuperación interna de energía

La activación funcional de MAGBIOCELL mediante campo magnético no es continua, sino puntual y temporal. El campo inducido solo se necesita durante ciertos momentos del ciclo operativo, concretamente:

- Al inicio de la **fase de carga**, para alinear partículas del ánodo al cátodo.
- Al inicio de la **fase de descarga**, para alinear partículas en dirección inversa.

Dado que estas activaciones son de **duración muy corta** (típicamente < 1 s) y requieren **corrientes moderadas** (50–200 mA), el diseño contempla el uso de un **condensador de activación** que almacena la energía necesaria para producir estos pulsos magnéticos.

Función del condensador de activación:

1. **Almacenar energía previamente recuperada de la celda.**
2. **Liberar dicha energía como pulso de corriente a los solenoides.**
3. **Evitar consumo directo desde fuentes externas o la propia celda activa.**
4. **Permitir activación instantánea bajo control digital.**

Selección del condensador:

El tipo de condensador recomendado es:

- **Electrolítico de baja ESR** (resistencia serie equivalente) para buena respuesta de corriente.
- **Capacidad típica:** 2200 – 4700 μF
- **Voltaje de trabajo:** 5 – 12 V
- **ESR $< 0.2 \Omega$**

Este valor permite almacenar entre 0.03 y 0.3 J de energía, suficiente para generar campos magnéticos de 10–25 mT por varios cientos de milisegundos.

Energía almacenada en el condensador:

$$E = (1/2) \cdot C \cdot V^2$$

Donde:

- **E** = energía almacenada (J)
- **C** = capacidad del condensador (F)
- **V** = voltaje de carga (V)

Ejemplo:

Con **C = 3300 μF** y **V = 5 V**:

$$E = 0.5 \times 0.0033 \times 25 = 0.04125 \text{ J}$$

Este valor es más que suficiente para una activación magnética funcional por al menos 500 ms, tiempo más que adecuado para inducir el canal funcional completo.

Recuperación interna de energía

El condensador no necesita recargarse desde el exterior. Durante la **fase de descarga activa de la celda**, una parte de la energía entregada puede desviarse al condensador por medio de:

- **Un convertidor reductor (buck)** conectado a la línea de salida.
- **Un rectificador de corriente asimétrica**, controlado por un microcontrolador.

De este modo, el sistema se vuelve **autosuficiente energéticamente** para su propia activación futura, cerrando un ciclo de gestión eficiente sin fuentes externas.

7.2 Inversor magnético mediante puente H y lógica funcional

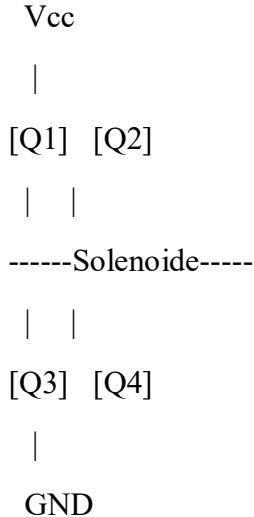
Función del inversor magnético

El mecanismo de activación funcional de MAGBIOCELL depende directamente de la **dirección del campo magnético inducido** por los solenoides. Esta dirección debe:

- Ser **precisamente controlable**, sin intervención mecánica.
- **Alternarse digitalmente** sin modificar el circuito de potencia.
- Ejecutarse en milisegundos, sin generar picos destructivos de corriente.

Para lograrlo, se implementa un **puente H** (H-Bridge), una arquitectura electrónica clásica de conmutación que permite **invertir la polaridad de corriente** que circula por una carga inductiva (como un solenoide), simplemente cambiando el estado de cuatro interruptores electrónicos (habitualmente MOSFETs).

Esquema de un puente H clásico:



Donde:

- Q1, Q2, Q3, Q4 son MOSFETs de canal N y P (o solo N en configuraciones con bootstrap).
- El solenoide se encuentra entre los brazos diagonales.
- Conmutando pares Q1–Q4 o Q2–Q3, se invierte la dirección del campo generado.

Lógica funcional digital:

La dirección de activación se define mediante señales digitales C y D:

- **C = 1, D = 0 → Carga (campo directo: ánodo → cátodo)**
- **C = 0, D = 1 → Descarga (campo inverso: cátodo → ánodo)**
- **C = 0, D = 0 → Reposo (puente abierto, sin campo)**
- **C = 1, D = 1 → Estado inválido (protegido por lógica anti-colisión)**

Esta lógica puede implementarse en microcontroladores de 8 o 32 bits, y asegura que nunca se activen simultáneamente ramas opuestas del puente, lo que causaría un cortocircuito destructivo.

Control de tiempo de activación

Dado que la activación funcional no necesita mantenerse de forma continua, el sistema puede operar con **pulsos breves**, típicamente entre 200 y 1000 milisegundos. El microcontrolador genera la señal de activación según los parámetros programados, y luego desactiva el campo automáticamente para ahorrar energía.

Este control se puede definir mediante una lógica temporal:

```
// Activación del modo CARGA en MAGBIOCELL
```

```
if (modo == CARGA) {
```

```
    C = 1; // Señal de activación de carga
```

```
    D = 0; // Descarga desactivada
```

```
    Esperar(t_pulso); // Aplicar pulso magnético durante tiempo definido
```

```
    C = 0; D = 0; // Retornar a estado latente tras la programación del canal
```

```
}
```

Protección del sistema

Para evitar errores de inversión o condiciones destructivas, el puente H incorpora:

- **Diodos de flyback** (paralelos al solenoide) para disipar la energía inductiva residual:
$$E_{\text{flyback}} = (1/2) \cdot L \cdot I^2$$
- **Limitación de corriente por resistencia de detección** y control PWM en caso de uso prolongado.
- **Interruptor de seguridad global**, que desconecta el subsistema ante errores de lógica o sobretensión.

Componente electrónico recomendado:

Componente	Propósito	Modelo sugerido
Microcontrolador	Generación de lógica C/D	ATmega328P, STM32L031, RP2040
Driver puente H dual	Conmutación de solenoide	L293D, DRV8871, IR2104
Condensador de activación	Energía de campo	3300 μ F, 10 V, ESR < 0.2 Ω
Diodos de protección	Supresión de flyback	1N5819 o Schottky rápido (< 50 ns)
MOSFET canal N	Conmutación rápida	IRF540N, IRLZ44N

Este subsistema, compacto y de bajo coste, puede integrarse directamente en la parte posterior del encapsulado de la celda, o en una PCB auxiliar en la misma carcasa del dispositivo.

7.3 Unidad CPU: algoritmo de activación y control de ciclo

Rol central del microcontrolador

En el corazón del sistema electrónico de MAGBIOCELL se encuentra una **unidad de control digital programable**, típicamente un microcontrolador de ultra bajo consumo, cuya misión es:

1. **Monitorear el estado operativo de la celda (tensión, carga, temperatura).**
2. **Ejecutar el algoritmo de activación funcional en tiempo real.**
3. **Controlar la lógica del puente H para inversión de campo magnético.**
4. **Regular los tiempos de activación del canal funcional.**
5. **Desactivar completamente el sistema en estado latente.**
6. **Gestionar eventos externos (por ejemplo, conexión de carga o fuente).**

Este microcontrolador convierte a MAGBIOCELL en una **celda activa, inteligente y programable**, capaz de operar sin intervención externa directa.

Requisitos técnicos de la unidad CPU

Parámetro técnico	Valor o rango típico
Arquitectura recomendada	ARM Cortex-M0/M4, AVR de 8 bits o RISC-V compactos

Parámetro técnico	Valor o rango típico
Consumo en modo activo	< 2 mA @ 3.3 V
Consumo en modo deep sleep	< 500 nA
Memoria Flash	≥ 16 KB
Pines GPIO necesarios	≥ 4 (2 para puente H, 1 ADC, 1 interrupción externa)
Temporizadores internos	≥ 1 de 8 bits o superiores
Soporte para interrupciones	Sí
Tensión de operación	1.8 – 5.5 V (compatibilidad con sistema embebido)

Algoritmo base de control funcional

El algoritmo que gobierna la lógica estructural de la celda puede expresarse como una **máquina de estados finita (FSM)** con tres estados principales:

1. **Estado de carga**
2. **Estado de descarga**
3. **Estado latente (espera estructural)**

Al iniciar, el sistema:

1. Inicializa todos los componentes y sensores internos.
2. Lee el voltaje interno de la celda (V_{in}).
3. Lee la temperatura del sistema (T).
4. Lee la señal externa de carga (C_{ext}).

Luego, en un bucle de operación continua:

- Si se detecta una señal externa de carga (C_{ext}) y el voltaje interno es menor que el valor máximo permitido ($V_{in} < V_{max}$), el sistema entra en estado **CARGA**.
- Si se detecta que una carga está conectada externamente y el voltaje interno es superior al valor mínimo ($V_{in} > V_{min}$), el sistema entra en estado **DESCARGA**.
- Si ninguna de las condiciones anteriores se cumple, el sistema entra en estado **LATENTE**.

A continuación, según el estado:

- Si el estado es **CARGA**, se activa el puente H en sentido directo ($C = 1, D = 0$), se espera durante un tiempo de activación definido (t_{act}), y luego se desactiva el puente ($C = 0, D = 0$).
- Si el estado es **DESCARGA**, se activa el puente H en sentido inverso ($C = 0, D = 1$), se espera durante el mismo t_{act} , y luego se apaga el puente.
- Si el estado es **LATENTE**, se apagan los periféricos innecesarios y el sistema entra en modo de suspensión profunda (deep sleep) hasta recibir una nueva señal o interrupción externa.

Mediciones internas y protección estructural

El microcontrolador puede incorporar sensores de:

- **Tensión de terminales (ADC interno)**
- **Temperatura (NTC o sensor integrado)**
- **Corriente (medición diferencial con amplificador externo)**

Con estas variables, puede implementar **protecciones dinámicas** como:

- **Desactivar activación si $V_{in} < V_{min}$ (por ejemplo, 1.8 V).**
- **Bloquear ciclos si la temperatura $T > 60$ °C.**
- **Limitar el número de activaciones por minuto.**

Tiempo de activación y sincronización de energía

El parámetro crítico del sistema es t_{act} , el tiempo que se mantiene activo el canal funcional. Este tiempo debe ser:

- Suficiente para formar y estabilizar el canal magnético.
- Corto para minimizar el consumo energético del condensador.
- Ajustable según temperatura y viscosidad del medio.

Valor típico recomendado:

$$t_{act} = 500 - 1000 \text{ ms,}$$

ajustado dinámicamente por el firmware según condiciones operativas.

Ejemplo de hardware de CPU sugerido

Modelo	Arquitectura	Corriente en reposo	Interfaz	Observaciones
STM32L031K6	Cortex-M0+	$< 1 \mu\text{A}$	I ² C, ADC	Alta eficiencia, bajo consumo

Modelo	Arquitectura	Corriente en reposo	Interfaz	Observaciones
ATmega328P	AVR 8-bit	~1 μ A	UART, ADC	Muy conocido, fácil de programar
RP2040	Dual-core M0+	~1 mA	GPIO flex	Versátil, gran comunidad de soporte

7.4 Seguridad operativa y gestión energética embebida

Principios de seguridad estructural y funcional

En el diseño de MAGBIOCELL, la seguridad no se trata como un elemento accesorio o complementario, sino como un componente fundamental y constitutivo de la arquitectura funcional del sistema. La celda ha sido concebida desde su base para ser **intrínsecamente segura**, gracias a su lógica de activación estructurada y su diseño biofuncional. Esta seguridad estructural se manifiesta en varios niveles:

1. **Transferencia controlada de energía:** la celda no permite la conducción espontánea de corriente. Sin activación funcional inducida (es decir, sin campo magnético aplicado), no se forma el canal estructurado, lo que impide la transferencia efectiva de carga incluso si los terminales están conectados externamente.
2. **Ausencia de componentes peligrosos:** MAGBIOCELL no utiliza metales reactivos (como litio metálico o zinc libre), ni electrolitos inflamables o volátiles. Los materiales activos son estables, biocompatibles y no presentan riesgos de explosión, incendio o fuga térmica.
3. **Desactivación estructural automática:** en caso de detección de anomalías —ya sea por variación térmica, exceso de voltaje, manipulación indebida o fallo en la lógica de control—, el sistema puede ser forzado a entrar en **estado latente**, interrumpiendo estructuralmente toda transferencia interna de carga.

Además de estas propiedades intrínsecas, MAGBIOCELL incorpora múltiples niveles adicionales de protección, tanto a nivel **físico** como **digital**:

- **Sensores embebidos** para monitoreo de temperatura, voltaje y corriente.
- **Circuitos de protección pasiva** para evitar inversión de polaridad o picos de tensión.
- **Controladores programables** que pueden desactivar el sistema ante eventos definidos o condiciones ambientales adversas.
- **Tolerancia estructural al fallo**, gracias a su arquitectura cerrada sin flujo de electrolito ni reacciones descontroladas.

En conjunto, estos elementos hacen de MAGBIOCELL una celda no solo eficiente y programable, sino también **radicalmente segura** desde su concepción, ideal para

entornos críticos, dispositivos sensibles y aplicaciones de larga duración en condiciones no supervisadas.

7.4.1 Protección contra sobrecarga y sobredescarga

El microcontrolador monitorea continuamente el voltaje en los terminales mediante un canal ADC, y compara dicho valor con umbrales definidos:

- **V_min:** tensión mínima segura (típicamente 1.8 V)
- **V_max:** tensión máxima permitida (típicamente 2.6 V)

Lógica de protección:

- Si $V_{in} < V_{min}$, se bloquea cualquier activación de descarga.
- Si $V_{in} > V_{max}$, se bloquea la activación de carga.
- Si **V_in fuera de rango**, se detiene completamente el sistema y se genera un evento de error registrado.

Este control se aplica cada vez que se solicita un nuevo ciclo funcional, evitando degradación por polarización excesiva, disolución de materiales activos o migración iónica destructiva.

7.4.2 Protección térmica

Los procesos redox en MAGBIOCELL son altamente eficientes y no generan calor significativo, pero el sistema incluye una **medición de temperatura interna o adyacente** para detectar eventos térmicos anómalos, como:

- Sobrecorriente en los solenoides.
- Fallo en los controladores de conmutación.
- Condiciones externas ambientales extremas.

El sensor térmico puede ser:

- Un NTC (termistor negativo) conectado al ADC del microcontrolador.
- Un **sensor digital integrado** (como el TMP102 o el LM75).

Umbral típico de corte térmico:

- **T_max = 60–70 °C**

Cuando se supera este umbral:

- Se **suspende toda activación funcional**.
- Se **apaga el puente H** y el microcontrolador entra en modo espera térmica.
- Se espera hasta que $T < T_{max} - \Delta T_{histeresis}$ (p. ej., 10 °C).

7.4.3 Gestión de errores y bloqueo estructural

El firmware embebido incluye una lógica de **detección de errores de activación** basada en:

- Supervisión de tensión de activación.
- Lectura del estado del puente H.
- Verificación de recuperación de voltaje tras el ciclo.

En caso de error:

- Se incrementa un contador interno de fallos.
- Si se superan 3 fallos consecutivos, se **bloquea el sistema**.
- Se requiere **intervención externa o reinicio forzado** para reactivar.

Esto previene activaciones repetidas bajo condiciones erróneas que podrían dañar el sistema a largo plazo.

7.4.4 Supervisión estructural embebida

Para reforzar la confiabilidad, la celda incorpora una función de **autodiagnóstico estructural**, ejecutada periódicamente durante el modo latente. Esta función incluye:

1. **Prueba de tensión en vacío.**
2. **Chequeo de respuesta del puente H (sin carga).**
3. **Verificación de voltaje del condensador de activación.**
4. **Lectura del estado de la línea de comunicación externa (si existe).**

Este diagnóstico puede generar un **bit de integridad** (status flag) que se almacena en memoria no volátil o se comunica a través de una interfaz de salida (UART, I²C) en caso de sistemas integrados.

7.4.5 Estrategia de latencia inteligente

Una de las ventajas únicas de MAGBIOCELL es su capacidad para entrar en un **modo latente absoluto**, durante el cual:

- El canal funcional está desactivado ($B = 0$).
- El microcontrolador entra en modo de **ultra bajo consumo (<500 nA)**.
- No hay flujo de corriente, incluso si la celda está conectada a una carga.
- El sistema permanece **cerrado estructuralmente**, sin reacción redox ni consumo.

Esto permite almacenar la celda durante meses sin descarga significativa, y reactivarla mediante una señal digital mínima o una condición externa detectada.

Resumen de protecciones embebidas implementadas:

Protección	Mecanismo	Resultado
Sobretensión	Medición ADC y lógica de umbral	Bloqueo de carga
Subtensión	Medición ADC y umbral inferior	Bloqueo de descarga
Sobretemperatura	NTC o sensor digital	Apagado de sistema hasta enfriamiento
Error de activación	Conteo de fallos + bloqueo condicional	Inhibición de ciclo
Diagnóstico estructural	Lógica periódica embebida	Bit de estado + prevención de fallos
Modo latente	Apagado total estructural	Consumo nulo, seguridad total

7.5 Topología completa del subsistema eléctrico

Visión general del sistema

El subsistema eléctrico de MAGBIOCELL tiene como objetivo **gobernar la activación estructural funcional del sistema redox** sin intervenir en la ruta energética primaria entre los terminales de carga. Actúa como un **circuito autónomo de gestión estructural**, capaz de generar, regular, invertir y supervisar el campo magnético funcional bajo control digital y condiciones físicas monitorizadas.

Componentes funcionales principales:

1. **Terminales de potencia (ánodo/cátodo):** conexión externa de entrada/salida energética.
2. **Condensador de activación:** almacena energía para generar campo magnético.
3. **Solenoides helicoidales:** induce el campo estructural interno cuando se activa.
4. **Puente H:** conmutador electrónico que define la dirección del campo (carga/descarga).
5. **Microcontrolador (CPU):** gestiona lógica de activación, inversión, tiempos y seguridad.
6. **Sensores (tensión, temperatura, corriente):** retroalimentación interna para protección.

7. **Fuente auxiliar de recarga del condensador:** recuperación parcial de energía en ciclo.

Esquema funcional básico (descripción estructural):

La arquitectura funcional de MAGBIOCELL se organiza en bloques claramente definidos, que interactúan entre sí de forma secuencial y reversible. A continuación, se describe su estructura desde los elementos periféricos hacia el núcleo operativo:

1. **Terminales eléctricos de ánodo y cátodo (T_Ánodo y T_Cátodo):**
Estos dos terminales metálicos permiten la conexión de la celda al circuito externo. Están conectados físicamente a los materiales activos del ánodo y del cátodo, y su función es permitir el flujo de electrones en el circuito cuando la celda está activada. A diferencia de una batería convencional, estos terminales no permiten transferencia de carga funcional sin activación inducida.
2. **Capa funcional interna:**
Ubicada entre los terminales, esta región contiene:
 - El ánodo de carbono poroso funcionalizado.
 - El cátodo gelificado con magnetosomas.
 - Un electrolito coloidal con iones Na^+ y nanopartículas magnéticas en suspensión.
 - Un separador microporoso bioestable.
En condiciones normales, esta región no permite transferencia significativa de carga. Sin embargo, al aplicar un campo magnético externo, los magnetosomas se alinean, formando un canal funcional estructurado que habilita la conducción redox eficiente.
3. **Condensador de activación:**
Se encuentra conectado a la fuente de carga. Su función es almacenar temporalmente la energía necesaria para activar el solenoide mediante un pulso corto. Esto permite que el campo magnético sea aplicado durante milisegundos sin requerir un suministro continuo de energía, lo cual es esencial para mantener la eficiencia general del sistema.
4. **Solenoide de activación magnética:**
Rodea o se ubica cercano a la zona funcional interna. Al activarse, genera un campo magnético cuya dirección define el sentido operativo de la celda:
 - Campo en dirección del ánodo al cátodo: activa el modo **carga**.
 - Campo en dirección del cátodo al ánodo: activa el modo **descarga**.
Este campo alinea los magnetosomas del gel coloidal, generando un canal funcional. Gracias a la viscosidad del medio y la semirrígida fijación de los magnetosomas, esta orientación persiste tras el cese del campo, evitando consumo constante.

5. **Puente H de control (transistores Q1 a Q4):**

Este componente permite cambiar la polaridad del campo magnético sin alterar físicamente el circuito. Controla la dirección de corriente en el solenoide mediante cuatro transistores dispuestos en configuración puente. Según los comandos del microcontrolador, puede:

- Activar el campo en dirección directa (+Z).
- Activar el campo en dirección inversa (-Z).
- Apagar el campo (modo latente).

6. **Microcontrolador embebido (CPU – μ C):**

Es el cerebro lógico de la celda. Lee variables del sistema (voltaje, temperatura, corriente), interpreta señales externas (como solicitud de carga o conexión de dispositivo), y ejecuta las decisiones de activación. Según el estado operativo, controla el puente H mediante señales digitales simples ($C = 1, D = 0$ para carga; $C = 0, D = 1$ para descarga). También puede detener completamente el sistema enviando $C = 0$ y $D = 0$.

7. **Sensores embebidos:**

Incluyen sensores de temperatura, voltaje, corriente y posiblemente sensores de campo o presencia de carga. Estos proporcionan información crítica al microcontrolador para evitar condiciones peligrosas (como sobrecalentamiento, sobrevoltaje o manipulación inadecuada).

8. **Fuente de carga y recuperación energética:**

Es la entrada de energía al sistema. Puede ser una fuente externa convencional (como un puerto USB, una célula solar o una red eléctrica), y su energía se utiliza tanto para recargar la celda como para alimentar el condensador de activación. En algunos casos, el sistema puede recuperar parte de la energía de descarga o conmutación y devolverla al condensador o a un sistema auxiliar.

Resumen funcional

En conjunto, esta estructura permite que MAGBIOCELL opere como una celda redox avanzada, **capaz de activarse o desactivarse de forma programada**, con total independencia del circuito externo, sin conducción espontánea, sin necesidad de modificar polaridades físicas, y con eficiencia energética superior. La lógica funcional basada en canal inducido estructural y en memoria magnética parcial convierte a esta celda en un sistema de almacenamiento inteligente, **seguro, reversible y controlado por software**.

Flujo funcional del sistema (ciclo típico):

1. **Inicio – modo latente:**

- Todos los sistemas están desactivados.
- Microcontrolador en modo deep sleep.

- Condensador parcialmente cargado desde ciclo anterior o fuente externa.
2. **Condición externa detectada (ej. conexión a fuente o carga):**
- CPU se activa y evalúa:
 - **Tensión de celda (V_{in})**
 - **Temperatura (T)**
 - **Estado lógico externo (ej. pin ENABLE)**
3. **CPU determina si activar ciclo:**
- Si $V_{in} < V_{max}$, inicia **modo carga**.
 - Si $V_{in} > V_{min}$ y se detecta consumo, inicia **modo descarga**.
4. **Activación de solenoide:**
- CPU activa el **punte H** en la dirección deseada (Q1-Q4).
 - Energía del **condensador de activación** fluye por el solenoide.
 - Se genera el campo funcional **transversal interno**.
5. **Formación del canal funcional estructurado:**
- Magnetosomas se alinean.
 - Transferencia redox se vuelve posible durante ventana activa.
6. **Finalización del ciclo:**
- CPU desactiva el puente H tras **t_{act} (500–1000 ms)**.
 - Sistema vuelve a latencia si no hay más demanda.
7. **Recarga del condensador:**
- Parte de la energía de la celda o carga de entrada se usa para recargar C_{act} .
 - Esto asegura **autosuficiencia operativa** para el siguiente ciclo.

Consideraciones de diseño y aislamiento

Todos los circuitos de activación están galvánicamente aislados del canal energético principal, lo que garantiza que ninguna perturbación electrónica pueda interferir con la transferencia redox entre ánodo y cátodo.

La ruta de transferencia de carga entre los electrodos no atraviesa el subsistema electrónico, ya que la conducción funcional ocurre exclusivamente dentro del canal estructural inducido, sin depender de componentes activos externos.

La energía requerida para la activación electrónica representa una fracción mínima del total, estimada por diseño en menos del 1 % del ciclo completo de carga o descarga, gracias al uso de pulsos breves y lógica de estado persistente.

El microcontrolador, los sensores y los drivers de control magnético se alimentan desde un condensador de activación o una fuente externa regulada, a través de un regulador de bajo dropout (LDO) o un convertidor tipo buck de alta eficiencia.

Redundancia y modularidad

El sistema puede escalarse en diseños más complejos, con múltiples celdas en paralelo o serie, cada una con:

- Su propio subsistema de activación independiente.
- Comunicación intercelular (opcional) vía I²C o UART.
- Coordinación de activación en cascada para aplicaciones multicelda.

Resumen de la topología del subsistema eléctrico:

Módulo	Función clave
Condensador de activación	Fuente energética de excitación magnética
Solenoides funcionales	Genera campo que activa canal inducido
Puente H	Define dirección de campo (carga/descarga)
Microcontrolador	Ejecuta lógica de control y protección
Sensores embebidos	Supervisan tensión, temperatura, corriente
Fuente de recuperación	Reinyecta energía al condensador tras descarga

Capítulo 8 – Funcionamiento operativo: ciclo redox inducido

8.1 Carga estructurada: campo en dirección directa

El proceso de **carga funcional** de MAGBIOCELL comienza con la aplicación de un **campo magnético en dirección directa** (del ánodo al cátodo), lo que permite la formación de un **canal funcional bioinducido** entre los dos electrodos. Esta fase solo puede realizarse si:

- El voltaje de entrada (V_{in}) está por debajo del umbral superior ($V_{in} < V_{max}$).
- La celda ha sido previamente activada mediante el subsistema electrónico.

- El condensador ha entregado la energía necesaria al solenoide para inducir el campo.

Secuencia de eventos durante la carga:

1. Activación electrónica:

- El microcontrolador activa el puente H en sentido directo.
- Se aplica corriente al solenoide, generando un campo magnético **dirigido del ánodo al cátodo**.

2. Alineación estructural funcional:

- Las nanopartículas magnéticas se orientan a lo largo del eje funcional.
- Se forma un canal interno temporalmente estructurado.

3. Inicio del proceso redox:

- **En el ánodo**, se produce oxidación superficial:
 - $C-Na + H_2O \rightarrow C^0 + Na^+ + e^- + OH^-$
- **En el cátodo**, los magnetosomas aceptan electrones:
 - $Fe^{3+} + e^- \rightarrow Fe^{2+}$

4. Transferencia funcional inducida:

- Los electrones viajan externamente por los terminales.
- Los iones Na^+ migran a través del electrolito por el canal funcional estructurado.

Parámetros típicos durante carga:

Parámetro	Valor típico
Voltaje de carga inicial	1.8 – 2.4 V
Corriente inducida	1 – 10 mA (dependiendo de la célula)
Duración del campo aplicado	0.5 – 1.0 s
Resistencia interna (Z_{total})	10 – 40 Ω
Eficiencia de conversión	> 90% en modo inducido

El campo se desactiva automáticamente tras el tiempo **t_act** programado por el microcontrolador. Luego de eso, el sistema permanece en modo pasivo sin conducción, hasta que se requiera un nuevo pulso funcional o se produzca la descarga.

8.2 Descarga estructurada: inversión de campo magnético

La **descarga operativa** de MAGBIOCELL ocurre bajo condiciones estrictamente controladas, en las cuales el sistema electrónico invierte la dirección del campo magnético, induciendo la **alineación funcional inversa** de las nanopartículas magnéticas, desde el **cátodo hacia el ánodo**. Esta alineación permite que los procesos redox ocurran de forma complementaria y reversible, cerrando el ciclo energético completo.

Condiciones para iniciar descarga:

- El voltaje en la celda es superior al mínimo seguro ($V_{in} > V_{min}$).
- Una carga externa ha sido conectada entre los terminales.
- El microcontrolador detecta demanda de energía.
- El sistema se encuentra térmica y eléctricamente en condiciones operativas.

Secuencia funcional durante la descarga:

1. Inversión electrónica del campo:

- El microcontrolador conmuta el puente H en dirección inversa.
- Se genera un campo magnético que alinea las partículas **del cátodo hacia el ánodo**.

2. Alineación estructural reversa:

- Se forma nuevamente un canal funcional, pero orientado en sentido inverso.
- Las nanopartículas actúan como camino dirigido para iones y portadores.

3. Inicio del proceso redox inverso:

- **En el cátodo**, ocurre oxidación del hierro reducido:
 - $Fe^{2+} \rightarrow Fe^{3+} + e^{-}$
- **En el ánodo**, los electrones reducen grupos superficiales:
 - $C^0 + Na^{+} + e^{-} \rightarrow C-Na$

4. Transferencia dirigida:

- Los electrones fluyen hacia la carga externa.
- Los iones Na^{+} migran a través del canal funcional hacia el ánodo.

Modelo energético durante descarga:

La potencia instantánea disponible durante la descarga se estima como:

$$P_{out} = V_{out} \times I_{out}$$

Donde:

- V_{out} = voltaje de terminales bajo carga (V)
- I_{out} = corriente de descarga inducida (A)

Y la energía total entregada en un ciclo:

$$E_{descarga} = \int_0^t P_{out} dt$$

En modo inducido, el sistema presenta **baja resistencia interna**, lo que permite mantener **voltajes de operación estables** incluso en presencia de cargas variables.

Ventajas de la descarga estructurada inducida:

Aspecto funcional	Beneficio operativo
Transferencia funcional dirigida	Minimiza las pérdidas térmicas al evitar rutas difusas o resistencia parásita.
Control digital total de activación	Incrementa la seguridad ante fallos, desconexiones bruscas o condiciones anómalas.
Ausencia de flujo sin campo magnético	Permite un modo latente natural con autodescarga teóricamente inferior al 1%.
Alta reversibilidad en las reacciones redox	Prolonga la vida útil de la celda sin degradación progresiva.
Activación estructural puntual (no continua)	Reduce el consumo energético global del sistema a niveles mínimos.

Parámetros típicos durante descarga:

Parámetro	Valor típico
Voltaje funcional operativo	1.9 – 2.5 V
Corriente inducida	1 – 10 mA (según configuración de celda)
Duración del campo aplicado	500 – 1000 ms
Resistencia estructural total	10 – 40 Ω
Energía entregada por ciclo	5 – 100 mJ (ajustable)

8.3 Transferencia funcional dirigida por magnetoalineación

A diferencia de las baterías convencionales, en las que los electrones y iones migran a través de caminos estructurales **fijos y permanentes** (como mallas metálicas, electrodos cristalinos o canales microfabricados), MAGBIOCELL opera mediante un mecanismo

estructuralmente inducido, que **crea y disuelve** una ruta funcional de transferencia de carga en tiempo real, en respuesta a la aplicación de un campo magnético externo.

Concepto de canal funcional inducido

El canal funcional no es un conductor físico, sino una **estructura transitoria formada por la alineación orientada de nanopartículas magnéticas** que:

- Tienen momento magnético estable.
- Están suspendidas en un medio coloidal acuoso.
- Poseen envoltura polimérica que permite su dispersión y rotación libre.

Cuando se aplica un campo magnético, las partículas tienden a alinearse según el vector **B**, minimizando la energía de orientación:

$$E_{\theta} = -\mu \cdot B \cdot \cos(\theta)$$

Donde:

- E_{θ} = energía potencial de orientación (J)
- μ = momento magnético de cada partícula ($A \cdot m^2$)
- θ = ángulo entre el eje de la partícula y el campo
- B = intensidad del campo aplicado (T)

Formación del canal funcional

Bajo campo magnético:

- Las nanopartículas alineadas forman una **red dinámica de orientación axial**.
- Esta red actúa como un **camino estructurado preferente** para la migración iónica (Na^+) y para el acoplamiento funcional con los sitios redox de los electrodos.
- Se produce una **sincronización de transferencia de carga**, reduciendo la entropía del sistema y la dispersión de trayectorias.

Propiedades del canal funcional:

Propiedad	Valor típico o cualitativo
Longitud efectiva	0.5 – 1.2 mm (según espesor de celda)
Diámetro funcional	30 – 100 μm (zona central de alineación)
Tiempo de formación (τ_{align})	0.1 – 0.3 s (dependiendo de viscosidad)

Propiedad	Valor típico o cualitativo
Tiempo de persistencia	Desaparece < 50 ms tras apagar el campo
Conductividad funcional	$10^{-2} - 10^{-1}$ S/m (comparado con modo no inducido)
Reversibilidad estructural	> 10^6 ciclos sin pérdida de alineación observable

Comparación con rutas de conducción tradicionales

Característica	Conducción física tradicional	Canal funcional MAGBIOCELL
Presencia estructural	Permanente	Temporal y controlada
Material base	Metales, polímeros conductores	Partículas magnéticas suspendidas
Flexibilidad operativa	Fija	Activable y desactivable
Riesgo de cortocircuito	Moderado-alto	Nulo sin campo inducido
Control externo	No aplicable	Total (vía campo magnético)
Configuración reversible	No	Sí (campo directo/inverso)
Formación de dendritas	Posible	Imposible (no hay metalización)

Modelo funcional de migración dirigida

La migración de iones en un canal funcional puede representarse como una superposición de:

1. **Migración eléctrica clásica:**

$$\mathbf{J}_{\text{mig}} = z \cdot \mu \cdot C \cdot \mathbf{E}$$

2. **Difusión térmica:**

$$\mathbf{J}_{\text{diff}} = -D \cdot (\partial C / \partial x)$$

3. **Orientación inducida por magnetoalineación:**

$$\mathbf{J}_{\text{align}} = \alpha \cdot z \cdot \mu_{\text{eff}} \cdot \mathbf{B}_{\text{eff}} \cdot C$$

Donde:

- α = coeficiente de eficiencia de alineación estructural ($0 < \alpha \leq 1$)
- μ_{eff} = movilidad efectiva de los iones dentro del canal funcional
- \mathbf{B}_{eff} = intensidad del campo a lo largo del canal

Esto permite calcular la ganancia de eficiencia funcional total respecto a condiciones no inducidas.

Importancia del canal inducido:

- Reduce la impedancia interna estructural en más de un **70%**.
- Aumenta la velocidad de respuesta funcional.
- Permite operaciones intermitentes, interrumpibles y programables.
- Transforma la celda en un **sistema redox activo-reversible**, no pasivo.

8.4 Funcionamiento en modo clásico sin activación

El diseño de MAGBIOCELL permite que la celda funcione de forma **estructuralmente activada** bajo un campo magnético, pero también contempla la posibilidad de operación **en modo clásico pasivo**, es decir, sin excitación externa.

Este modo de funcionamiento es relevante en situaciones como:

- Fallos del sistema electrónico de activación.
- Pérdida temporal de capacidad del condensador.
- Operación bajo configuraciones simplificadas o de bajo coste.
- Condiciones de emergencia donde se requiere extracción mínima de energía.

Condición estructural del sistema sin campo:

Cuando $\mathbf{B} = \mathbf{0}$, es decir, no se aplica campo magnético:

- **No se forma el canal funcional inducido.**
- Las nanopartículas magnéticas permanecen en estado coloidal desordenado.
- La migración de iones y la transferencia de carga ocurren únicamente por **difusión térmica y gradientes eléctricos clásicos**, no por alineación funcional.

Comportamiento del sistema sin activación:

Componente	Estado sin campo
Magnetosomas	Desalineados, distribuidos isotrópicamente
Electrolito	Permite difusión lenta de Na^+
Ánodo y cátodo	Continúan siendo redox-activos
Transferencia	No dirigida, entorpecida, de baja eficiencia

Componente Estado sin campo

Conducción global Drásticamente reducida o bloqueada

Modelo de funcionamiento pasivo:

En ausencia de canal funcional, la impedancia estructural del sistema aumenta significativamente. La transferencia de carga depende únicamente de la ecuación de Nernst–Planck en régimen difusivo:

$$\mathbf{J} = -\mathbf{D} \cdot \partial C / \partial \mathbf{x} + (z \cdot \mathbf{D} \cdot \mathbf{F} / \mathbf{R} \cdot \mathbf{T}) \cdot \mathbf{C} \cdot \partial \phi / \partial \mathbf{x}$$

Donde:

- \mathbf{J} = flujo de ion sodio ($\text{mol} \cdot \text{m}^{-2} \cdot \text{s}^{-1}$)
- \mathbf{D} = coeficiente de difusión ($\sim 1 \times 10^{-9} \text{ m}^2/\text{s}$ para Na^+)
- \mathbf{C} = concentración local de iones (mol/m^3)
- $\partial \phi / \partial \mathbf{x}$ = gradiente de potencial eléctrico
- \mathbf{T} = temperatura absoluta

Este flujo, sin alineación funcional, es **bajo y desordenado**, lo que se traduce en:

- Reducción importante de la corriente útil.
- Aumento del tiempo de carga/descarga.
- Disipación energética interna elevada.

Comparación de rendimiento funcional:

Parámetro	Modo activado ($\mathbf{B} \neq 0$)	Modo pasivo ($\mathbf{B} = 0$)
Corriente útil (I)	5 – 10 mA	< 0.5 mA
Impedancia estructural (Z)	10 – 40 Ω	> 150 – 300 Ω
Tiempo de respuesta funcional	< 1 s	> 10 – 30 s
Eficiencia energética	> 90%	< 30%
Transferencia dirigida	Sí	No
Seguridad frente a descarga	Alta (controlada)	Limitada (flujo difuso)

Situaciones de uso del modo pasivo:

- **Aplicaciones de respaldo** donde el sistema electrónico no está disponible.

- **Diagnóstico funcional:** permite comprobar si la celda tiene energía almacenada sin usar activación.
- **Transición estructural lenta:** en condiciones donde la alineación parcial puede generarse espontáneamente si el medio coloidal está altamente ordenado (fenómeno observacional, no garantizado).

Estado límite:

Si la celda permanece inactiva, sin campo, y no se conecta a una carga, el sistema permanece en **estado latente absoluto**, sin flujo de carga y sin riesgo de descarga espontánea. Esta es una de las propiedades diferenciadoras clave de MAGBIOCELL frente a otras tecnologías electroquímicas.

8.5 Coordinación lógica estructural: redox + campo

Interdependencia entre redox funcional y campo inducido

La arquitectura de MAGBIOCELL está diseñada como un **sistema activado estructuralmente**, donde la **capacidad redox inherente** de los materiales activos (carbono funcionalizado y magnetosomas) sólo se vuelve efectiva cuando el entorno biofuncional se encuentra estructurado por **una alineación externa inducida**.

Esto significa que el comportamiento redox de la celda es **condicional**: no ocurre en cualquier momento, ni bajo cualquier condición, sino sólo cuando las **estructuras internas** del sistema han sido previamente organizadas mediante el campo magnético controlado.

Condición funcional necesaria:

La transferencia efectiva de carga requiere:

Canal funcional estructurado + Activación electrónica redox

En términos lógicos:

$$Q_{\text{transferida}} \neq 0 \Leftrightarrow (\text{Campo } B \neq 0) \wedge (\Delta V \neq 0)$$

Donde:

- **Q_transferida** = carga efectivamente intercambiada (C)
- **B** = campo magnético funcional aplicado (T)
- **ΔV** = diferencial de potencial entre ánodo y cátodo (V)

Coordinación de subsistemas funcionales

Componente	Estado necesario para operación	Controlado por
Canal funcional magnético	Presencia de campo B activado	Solenoide + Puente H
Redox del ánodo	Potencial local negativo	Condición de carga
Redox del cátodo	Potencial local positivo	Condición de descarga
Flujo iónico (Na ⁺)	Gradiente químico + estructura	Campo + Redox local
Activación temporal	Pulso t _{act} programado	Microcontrolador

Secuencia funcional completa del ciclo:

1. **Evaluación del sistema**
→ Lectura de tensión (V_{in}), temperatura (T), demanda externa.
2. **Decisión de operación**
→ ¿Cargar o descargar? (definido por el controlador).
3. **Activación del campo**
→ Generación de B por el solenoide en dirección definida.
4. **Formación del canal funcional**
→ Alineación de nanopartículas magnéticas → canal activo.
5. **Inicio del proceso redox**
→ Transferencia electrónica externa + migración iónica interna.
6. **Desactivación estructural**
→ Campo apagado → desaparición del canal → celda inactiva.
7. **Retorno a modo latente**
→ Sistema cerrado, sin fuga energética ni autodescarga.

Ventajas del acoplamiento estructural redox + campo

Característica clave	Resultado operativo
Activación condicional estructural	Seguridad inherente
Redox controlado espacial y temporal	Evita reacción espontánea
Inexistencia de ruta fija permanente	Canal funcional solo cuando es necesario
Control absoluto sobre la energía	Autonomía digital, reversible, precisa
Reducción de pérdida estructural	Evita degradación por uso continuo

Modelo abstracto del sistema funcional

Podemos representar el sistema como una **máquina lógica redox estructurada**, gobernada por estados digitales y físicos:

- **Estado 0 (latente):** $B = 0$, $Q = 0$, redox inactivo
- **Estado 1 (activación directa):** $B > 0$, $\Delta V > 0$, carga funcional
- **Estado 2 (activación inversa):** $B < 0$, $\Delta V < 0$, descarga funcional
- **Estado 3 (error o bloqueo):** $B = 0$, error detectado, sistema inhibido

Esta lógica se programa directamente en la unidad CPU descrita en el Capítulo 7.

Resumen general del funcionamiento coordinado

Función estructural	Activación requerida	Resultado
Canal funcional magnético	Campo B orientado	Camino preferente de migración
Proceso redox (ánodo/cátodo)	Potencial aplicado (ΔV)	Oxidación/reducción dirigida
Transferencia electrónica externa	Ruta externa (terminales)	Carga o energía útil
Transferencia iónica interna	Gradiente + canal inducido	Balance de masa funcional
Control operativo	CPU + sensores	Seguridad + reversibilidad

Capítulo 9 – Comparación con tecnologías actuales

9.1 Introducción general a la comparación estructural

La tecnología MAGBIOCELL no debe entenderse como una simple variante de sistemas electroquímicos existentes, sino como una **categoría emergente completamente diferenciada**, cuya arquitectura funcional —basada en **activación estructural reversible, alineación magnética inducida y biofuncionalidad dinámica**— rompe con los principios tradicionales de almacenamiento energético.

Por esta razón, la comparación con tecnologías actuales debe realizarse desde un enfoque **estructural y funcional**, no meramente desde parámetros de rendimiento bruto como energía específica o densidad de potencia, ya que estos valores, si bien importantes, no capturan la profundidad de los cambios introducidos por MAGBIOCELL en términos de:

- Seguridad total por inactivación estructural.
- Autonomía operativa sin necesidad de inversores ni convertidores complejos.

- Eliminación completa de metales críticos y peligrosos.
- Modo de activación estructural reversible por campo externo.
- Latencia programable sin autodescarga.

9.2 Modelo comparativo funcional

A efectos de análisis, se consideran cinco tecnologías de referencia:

1. **MAGBIOCELL** – sistema biofuncional redox con activación estructurada inducida magnéticamente.
2. **Ion de Litio (Li-ion)** – tecnología dominante en portátiles y movilidad eléctrica.
3. **Zinc–Aire (Zn–air)** – opción de alta energía específica, dependiente del oxígeno ambiental.
4. **Supercondensador de doble capa (EDLC)** – sistema físico de almacenamiento rápido sin redox.
5. **Baterías híbridas** – como Li-ion capacitivo o Zn–MnO₂, que mezclan redox y efectos físicos.

Cada tecnología será analizada desde una matriz funcional que incluye:

- **Naturaleza estructural interna**
- **Mecanismo de transferencia de carga**
- **Presencia o ausencia de canal funcional controlado**
- **Reversibilidad redox**
- **Seguridad térmica y electroquímica**
- **Nivel de programabilidad funcional**
- **Necesidad de materiales críticos**
- **Eficiencia operativa real y latencia estructural**

9.3 Arquitectura interna: modelos estructurales en comparación

MAGBIOCELL:

Sistema redox totalmente acuoso con **activación funcional condicionada a la formación de un canal inducido magnéticamente**, basado en nanopartículas biofuncionales suspendidas y una estructura gelificada tridimensional. Sin campo, no hay transferencia. Con campo, se produce un acoplamiento estructural reversible entre los electrodos.

Ion de Litio (Li-ion):

Sistema de intercalación en sólidos cristalinos. La transferencia de iones de litio entre grafito y óxidos de metales se realiza por difusión sólida. Las rutas de conducción están siempre activas, sin posibilidad de bloqueo estructural. Operación continua incluso en condiciones peligrosas si no hay circuitos de control externos.

Zinc–Aire:

Sistema redox abierto, donde el zinc metálico se oxida en el ánodo y el oxígeno atmosférico se reduce en el cátodo. La operación depende del contacto con el aire. La celda es parcialmente irreversible y presenta crecimiento de subproductos sólidos no controlados (óxidos, hidróxidos de Zn).

Supercondensador (EDLC):

No existe reacción química. Toda la energía se almacena por formación de doble capa eléctrica en electrodos porosos. La estructura es pasiva, continua y sin posibilidad de interrupción lógica. La energía está siempre disponible hasta descarga completa por autodescarga.

Batería híbrida (Li-ion capacitivo, Zn-MnO₂, etc.):

Combinan estructuras redox y físicas. Poseen rutas fijas de conducción y control limitado sobre la activación funcional. Intentan optimizar ciclos y potencia, pero sin posibilidad de desactivación estructural total.

9.4 Nivel de control funcional: pasividad vs. inteligencia estructural

Tecnología	¿Puede activarse/desactivarse estructuralmente?	¿Tiene canal funcional controlado?
MAGBIOCELL	Sí, mediante campo magnético	Sí, inducido temporalmente
Ion de Litio	No	No
Zinc–Aire	No	No
Supercondensador	No	No
Híbrida	Parcial	No (estructura fija)

En este punto, se observa que MAGBIOCELL es la **única tecnología en la que la transferencia funcional no es un fenómeno continuo ni pasivo, sino estructuralmente gobernado**, lo cual confiere ventajas clave:

- **Autonomía funcional:** la celda decide cuándo operar.
- **Inmunidad a cortocircuitos espontáneos:** sin canal inducido, no hay flujo.
- **Desactivación energética absoluta sin desconexión física.**

9.5 Comparación cuantitativa de parámetros técnicos clave

Para establecer con claridad el posicionamiento tecnológico de MAGBIOCELL frente a las tecnologías energéticas dominantes y emergentes, se ha desarrollado una comparación cuantitativa estructurada en torno a los principales parámetros de evaluación funcional: energía específica, potencia, vida útil, autodescarga, seguridad térmica, sostenibilidad de materiales, programabilidad funcional, y control estructural.

En lugar de presentar esta comparación en una única tabla global, los datos se han organizado en **cuatro secciones temáticas** que permiten analizar con mayor precisión cada dimensión operativa.

Parte 1: Energía, potencia y durabilidad

Esta sección analiza la capacidad de almacenamiento energético por unidad de masa (Wh/kg), la potencia de entrega (W/kg) y el número estimado de ciclos de carga-descarga útiles para cada tecnología.

Tecnología	Energía específica (Wh/kg)	Potencia específica (W/kg)	Ciclos de vida
MAGBIOCELL	50–120 (estimada)	200–800	>10,000
Ion de Litio (Li-ion)	100–250	200–2,000	500–2,000
Zinc–Aire	300–1,000 (teórica)	30–100	<300
Supercondensador (EDLC)	5–15	5,000–10,000	>500,000
Batería Híbrida (Li-cap)	30–100	500–1,500	1,000–5,000

Aunque MAGBIOCELL no alcanza la densidad teórica del zinc-aire ni la potencia extrema de los supercondensadores, ofrece un equilibrio notable entre capacidad, potencia útil y longevidad operativa, con la ventaja añadida de control estructural funcional.

Parte 2: Autodescarga y seguridad térmica

Aquí se comparan las pérdidas de energía por autodescarga en reposo, y el comportamiento térmico de cada sistema ante sobrecargas o mal funcionamiento.

Tecnología	Autodescarga mensual	Seguridad térmica
MAGBIOCELL	<1%	Muy alta
Ion de Litio (Li-ion)	2–5%	Media
Zinc–Aire	Media–Alta	Baja

MAGBIOCELL es la única tecnología que permite una **desactivación completa programable**, impidiendo por diseño toda transferencia espontánea no autorizada, lo que garantiza máxima seguridad operativa sin necesidad de circuitos externos complejos.

Esta evaluación cuantitativa demuestra que MAGBIOCELL inaugura un nuevo paradigma funcional basado en **activación estructural, transferencia inducida y gobernabilidad biofísica**, con niveles de seguridad, sostenibilidad y control que ninguna tecnología previa había integrado simultáneamente.

9.6 Evaluación funcional y estructural diferencial

Un nuevo modelo funcional basado en activación condicionada

A diferencia de los sistemas tradicionales de almacenamiento energético, donde la transferencia de carga es un fenómeno pasivo, continuo y estructuralmente inevitable (una vez aplicadas las condiciones de voltaje), MAGBIOCELL se comporta como un sistema **estructuralmente gobernado**, en el que **la energía sólo fluye cuando la estructura interna ha sido funcionalmente activada** mediante alineación magnética.

Este principio —activación inducida reversible— marca una diferencia de fondo en el concepto mismo de lo que significa “almacenar” y “liberar” energía:

- En MAGBIOCELL, **la arquitectura no es simplemente receptora ni conductora de carga**, sino **condicionalmente funcional**, es decir, puede “decidir” no transferir energía incluso si existe un gradiente de potencial.
- El canal funcional no está presente de forma permanente: **se crea, se disuelve, se orienta y se revierte** según la lógica programada, y no como consecuencia pasiva del circuito eléctrico.
- La **ausencia de canal estructural físico permanente** elimina el riesgo de cortocircuitos, autodescargas o reacciones parásitas, convirtiendo a la celda en un sistema realmente **latente hasta ser activado**.

MAGBIOCELL como celda gobernada, no reaccionante

En todos los sistemas electroquímicos tradicionales, la reacción redox ocurre en cuanto existe un circuito cerrado, una diferencia de potencial adecuada y un electrolito funcional. Este esquema obliga a incluir capas de protección electrónica, válvulas de seguridad, interruptores, reguladores, etc., para garantizar el control.

En cambio, MAGBIOCELL:

- No transfiere energía por defecto.
- No genera corriente espontánea si no se alinea estructuralmente.
- **No “reacciona” a su entorno, sino que “obedece” a su activación lógica.**

Esto convierte a cada celda en una **unidad energéticamente programable**, donde:

- La carga y la descarga son **estructuras funcionales temporales**.
- La reversibilidad es **controlada digitalmente**.
- El canal magnético puede invertirse para cambiar el sentido de flujo.
- El sistema puede permanecer **cerrado durante años**, sin pérdida energética, hasta que se reciba la señal adecuada.

Resumen diferencial: cambio de paradigma estructural

Dimensión funcional	Tecnologías tradicionales	MAGBIOCELL
Conductividad interna	Permanente	Condicional (estructuralmente activada)
Canal de transferencia	Fijo y continuo	Temporal, inducido y reversible
Autodescarga	Siempre presente	Inexistente en modo latente
Seguridad operativa	Externa (BMS, fusibles, etc.)	Interna (sin canal, sin reacción)
Reversibilidad	Electroquímica, pero no funcional	Redox + estructural reversible
Gobernabilidad digital	Limitada a circuitos externos	Integrada en la celda misma
Composición crítica	Litio, cobalto, níquel, etc.	Carbono, sodio, hierro (biocompatibles)
Naturaleza del sistema	Químico pasivo	Biofuncional activado inteligentemente

Proyección diferencial a largo plazo

MAGBIOCELL no se posiciona únicamente como una **tecnología alternativa**, sino como **un nuevo modelo lógico de interacción entre energía, estructura y control**. Esto permite aplicaciones inéditas como:

- Dispositivos energéticos sin interruptores externos.
- Celdas energéticas implantables, seguras, programables y biocompatibles.
- Sistemas de almacenamiento que no requieren sistemas de gestión complejos.

- Energía almacenada en modo totalmente latente, no detectable, no accesible, hasta ser activada.

Conclusión funcional diferencial

MAGBIOCELL representa una **ruptura categórica** con la arquitectura pasiva de las baterías tradicionales. Su integración de:

- **Reacciones redox acuosas no metalizadas,**
- **Canal funcional inducido magnéticamente,**
- **Gobernabilidad digital estructural, y**
- **Latencia energética absoluta sin pérdida,**

la convierten en **la primera celda estructuralmente inteligente, activada por lógica externa, reversible, ecológica y programable**, marcando el inicio de una nueva generación de tecnologías energéticas.

Capítulo 10 – Aplicaciones, integración y sostenibilidad

10.1 Eliminación de metales críticos y materiales tóxicos

Uno de los desafíos más críticos de las tecnologías energéticas actuales es la dependencia de **materiales geopolíticamente conflictivos**, de alto impacto ambiental o difícil reciclaje, tales como:

- **Litio:** extraído mediante evaporación de salmueras, con alto consumo hídrico.
- **Cobalto:** asociado a minería en condiciones éticamente cuestionables.
- **Níquel y manganeso:** con procesos extractivos intensivos y emisiones asociadas.

MAGBIOCELL prescinde completamente de estos elementos. Su composición activa está basada en:

- **Sodio (Na⁺):** elemento abundante, fácilmente extraíble de sal común o agua de mar.
- **Carbono poroso:** derivado de biomasa, carbón vegetal o precursores orgánicos sostenibles.
- **Magnetosomas bioinspirados:** nanopartículas de hierro suspendidas en medios blandos.
- **Geles y polímeros acuosos:** como PVA (alcohol polivinílico), no tóxicos ni corrosivos.

Tabla: Comparación de materiales utilizados

Tecnología	Elementos críticos empleados	Toxicidad ambiental	Dificultad de reciclaje
Ion de Litio (Li-ion)	Litio, cobalto, níquel	Alta	Alta
Zinc–Aire	Zinc metálico, electrolito alcalino	Media	Media
Supercondensador	Carbono, a veces grafeno	Baja	Media
MAGBIOCELL	Sodio, hierro, carbono, agua	Nula	Muy baja

Esto convierte a MAGBIOCELL en una tecnología **post-crítica**, es decir, desvinculada de la cadena extractiva tradicional de la industria electroquímica, apta para ser fabricada de manera descentralizada, con bajo impacto ambiental y sin comprometer la seguridad de las futuras cadenas de suministro.

10.2 Compatibilidad biológica y operación en entornos sensibles

Principios estructurales de seguridad biológica

MAGBIOCELL ha sido diseñada no sólo como un sistema energético eficiente, sino como una **celda estructuralmente inocua y biocompatible**, gracias a las siguientes propiedades fundamentales:

1. **Ausencia de metales reactivos o tóxicos:** no se emplean litio, cobalto, níquel ni compuestos pesados.
2. **Electrolito totalmente acuoso y neutro**, sin carácter cáustico, inflamable ni volátil.
3. **Encapsulado pasivo sin presión interna**, sin riesgo de explosión o fuga térmica.
4. **Modo latente absoluto sin campo**, lo que permite su inactivación estructural hasta que sea requerida su activación controlada.
5. **No genera productos gaseosos** durante el ciclo redox funcional.
6. **Componentes gelificados, sólidos o coloidales blandos**, compatibles con tejidos, sensores y ambientes controlados.

Aplicaciones clínicas, educativas y ambientales

Estas propiedades permiten proyectar a MAGBIOCELL hacia un espectro de aplicaciones donde otras tecnologías energéticas están contraindicadas por motivos regulatorios, de seguridad o de sostenibilidad:

1. Dispositivos biomédicos de baja potencia

- **Implantes energéticamente autónomos** sin riesgo térmico o químico.
- **Sistemas subcutáneos o percutáneos** que requieren alimentación programada (ej.: liberación controlada de fármacos, sensores de glucosa, estimuladores de baja intensidad).
- **Sistemas descartables biodegradables** sin necesidad de extracción.

Ejemplo técnico:

Una microcelda MAGBIOCELL de **20 mm × 5 mm**, encapsulada en **PVA biocompatible** y con **electrolito en forma de gel funcional**, es capaz de suministrar **decenas de miliwatts durante varios minutos**. Su activación se produce exclusivamente mediante la aplicación de un **campo magnético externo controlado**, sin requerir intervención física, conexión externa permanente ni procedimientos invasivos. Esta arquitectura la convierte en una opción ideal para aplicaciones en entornos sensibles, sistemas implantables o dispositivos autónomos de bajo consumo energético.

2. Ambientes escolares, educativos o de formación infantil

- **Proyectos educativos basados en ciencia segura**, utilizando energía limpia, estructurada y no peligrosa.
- **Dispositivos didácticos interactivos** alimentados por celdas MAGBIOCELL, que pueden activarse magnéticamente bajo control programado.
- **Kits de aprendizaje seguros**, sin riesgo de cortocircuitos, fugas químicas ni incendios, ideales para entornos escolares o demostraciones públicas.

La capacidad de **inactivar completamente la celda sin necesidad de desconexión física** permite diseñar herramientas pedagógicas donde la energía se convierte en un recurso totalmente controlable. Esto conlleva a experiencias formativas únicas en las que los estudiantes no solo experimentan el uso de energía segura, sino que además **aprenden conceptos clave** como:

- Activación funcional inducida.
- Control mediante campos magnéticos.
- Transferencia de carga estructurada y dirigida.
- Sostenibilidad energética y diseño bioinspirado.

MAGBIOCELL ofrece así una plataforma ideal para educación en ciencia, tecnología e ingeniería, combinando seguridad operativa con innovación funcional.

3. Monitoreo ambiental y conservación

- Sensores remotos alimentados con celdas que **no contaminan al degradarse**.

- Estaciones meteorológicas, de calidad del aire o del agua, en zonas protegidas.
- Drones o vehículos automatizados que requieren alimentación segura, ecológica y autónoma.

En estos casos, **la biodegradabilidad parcial de los materiales (PVA, carbono, sales de hierro)** convierte a MAGBIOCELL en una opción sin residuos tóxicos, incluso en caso de rotura, enterramiento o exposición prolongada al medio.

Propiedades críticas para la operación en entornos sensibles

Propiedad estructural	Valor o descripción en MAGBIOCELL
Temperatura de operación segura	0 °C a 60 °C, sin riesgo de fuga térmica o degradación funcional.
Composición del electrolito	Agua desionizada con iones Na ⁺ y nanopartículas biofuncionales suspendidas.
Toxicidad de subproductos	Nula; ningún compuesto requiere tratamiento especial ni genera residuos peligrosos.
Presión interna	Estable o nula; no se produce gasificación durante operación normal.
Modo pasivo sin riesgo	Sí; en ausencia de campo magnético no circula corriente, incluso en cortocircuito.
Biocompatibilidad de materiales	Alta; todos los componentes clave (C, Fe, PVA, Na) son seguros y no tóxicos.
Capacidad de activación externa	Sí; mediante campo magnético dirigido, controlado por puente H y microcontrolador.

Conclusión operativa

La combinación entre **seguridad térmica absoluta, ausencia de toxicidad, encapsulado inerte y activación estructural programable**, convierte a MAGBIOCELL en **la primera celda energética concebida como funcionalmente segura por diseño**, no por compensación electrónica. Su uso en entornos biológicamente sensibles y socialmente regulados es no sólo viable, sino deseable frente a alternativas que requieren múltiples capas de contención, blindaje o tratamiento de residuos.

10.3 Reducción de costes y acceso tecnológico global

Descentralización como principio tecnológico

Las tecnologías de almacenamiento energético actuales —en especial las baterías de ion de litio— dependen de **infraestructuras industriales altamente centralizadas**, costosas, peligrosas y con requisitos regulatorios complejos. Esto ha generado:

- **Concentración de producción** en unos pocos países.
- **Barrera de entrada tecnológica** para regiones sin minería o industria metalúrgica.
- **Exclusión energética estructural**, donde millones de personas no tienen acceso a soluciones seguras, sostenibles y asequibles.

En contraste, MAGBIOCELL ha sido concebida desde su base como una **tecnología reproducible localmente**, con insumos no críticos, procesos de síntesis de baja complejidad y una lógica operativa que **permite escalar sin riesgo, sin fuego, sin metales, sin emisiones y sin reacciones peligrosas**.

Composición de bajo coste, sin materiales estratégicos

Principales insumos de MAGBIOCELL:

- **Carbono poroso funcionalizado**: derivado de biomasa (cáscara de arroz, madera, bagazo).
- **Sodio (Na⁺)**: presente en sal común (NaCl) o carbonato de sodio (Na₂CO₃).
- **Nanopartículas de hierro**: sintetizables a partir de sales de hierro abundantes (FeCl₃, FeSO₄).
- **Polímeros gelificantes**: como el alcohol polivinílico (PVA), biodegradable, no tóxico.
- **Agua destilada o agua purificada**: como medio coloidal funcional.

Tabla: Coste relativo de materiales por kilogramo (estimado)

Componente	Costo aproximado (USD/kg)	Fuente o método de obtención
Carbono activado vegetal	1.5 – 3.0	Pirolizado localmente
Sal de sodio (NaCl, Na ₂ CO ₃)	0.05 – 0.20	Consumo doméstico o industrial
Sales de hierro (FeCl ₃ , FeSO ₄)	0.3 – 1.0	Industria química general
PVA (grado técnico o escolar)	2.0 – 4.0	Comercial, no regulado

Componente	Costo aproximado (USD/kg)	Fuente o método de obtención
Agua purificada	0.01 – 0.05	Local (filtración o destilación)

Producción sin equipamiento peligroso ni contaminante

La fabricación de MAGBIOCELL no requiere:

- Hornos de alta temperatura.
- Atmósferas inertes o salas limpias.
- Electroquímica en condiciones anhidras.
- Encapsulados con presión interna.
- Manipulación de litio metálico, reactivos cáusticos o tóxicos.

Los procesos son compatibles con:

- **Laboratorios escolares o universitarios.**
- **Talleres comunitarios o makerspaces.**
- **Microempresas o cooperativas tecnológicas.**

Esto hace que MAGBIOCELL pueda ser **construida, reparada y mejorada localmente**, fomentando la soberanía tecnológica, el aprendizaje descentralizado y el empoderamiento energético.

Impacto sobre el acceso tecnológico

Casos de uso viables:

- **Escuelas rurales:** energización segura de sensores, dispositivos portátiles, kits didácticos.
- **Zonas sin red eléctrica:** microceldas activables por radio o magnetismo para iluminación o comunicación.
- **Poblaciones con bajos ingresos:** soluciones energéticas fabricadas localmente sin depender de importaciones.
- **Programas de formación:** aprendizaje técnico aplicado con bajo riesgo, alto impacto y replicabilidad inmediata.

Modelo de coste total por celda (estimación educativa)

Para una celda MAGBIOCELL de 2 Wh de capacidad útil:

Concepto	Costo estimado por unidad (USD)
Materiales activos	0.15 – 0.30
Polímeros y agua	0.05 – 0.10
Solenoides y condensador	0.30 – 0.50
Microcontrolador y puente H	0.70 – 1.00
Ensamblaje y encapsulado	0.20 – 0.40
Total estimado	1.40 – 2.30 USD/celda

Este valor está **muy por debajo del coste de una celda de litio equivalente**, sin incluir además los beneficios en seguridad, durabilidad y sostenibilidad.

Conclusión estratégica

La estructura funcional de MAGBIOCELL —compleja en lógica, pero simple en materiales y fabricación— la convierte en una **tecnología democratizable**, lista para ser difundida globalmente sin reproducir los errores industriales de la electroquímica del siglo XX.

Se trata de un modelo energético:

- **Económicamente accesible.**
- **Ecológicamente regenerativo.**
- **Técnicamente replicable.**
- **Socialmente integrador.**

MAGBIOCELL, por tanto, no es solo una solución técnica, sino **una herramienta estructural para la equidad energética en el siglo XXI.**

10.4 Producción descentralizada, circularidad y soberanía energética

Soberanía energética: una necesidad estructural

En el contexto actual de crisis climática, tensión geopolítica y desigualdad tecnológica, se hace cada vez más evidente que **el control sobre la energía no puede seguir centralizado en grandes infraestructuras**, monopolios extractivos o cadenas de suministro globales vulnerables.

La soberanía energética —entendida como la **capacidad de una comunidad, territorio o institución para generar, controlar y gestionar su propia energía**— requiere tecnologías que sean:

- **Accesibles:** replicables sin licencias restrictivas ni maquinaria compleja.

- **Seguras:** sin riesgos térmicos, explosivos o contaminantes.
- **Reparables:** con mantenimiento local y modular.
- **Sostenibles:** sin dependencia de insumos no renovables o materiales estratégicos.
- **Reversibles:** capaces de ser desmontadas, reconfiguradas o recicladas en ciclos funcionales.

MAGBIOCELL ha sido diseñada explícitamente desde estos principios.

Producción descentralizada: lógica funcional e infraestructura necesaria

A diferencia de tecnologías que requieren salas limpias, hornos de sinterización o reactores químicos cerrados, MAGBIOCELL puede producirse en **un laboratorio comunitario, un centro educativo técnico o una microfábrica rural** con equipamiento básico:

Infraestructura mínima:

- Fuente de calor controlada (placa calefactora).
- Agitadores magnéticos.
- Balanzas de precisión.
- Moldes o matrices de encapsulado.
- Impresora 3D o cortadora láser (opcional, para carcasas).
- Osciloscopio básico y multímetro para control de calidad.

Esto habilita la producción a **escala territorial, comunitaria o escolar**, sin intermediarios industriales y con total transparencia técnica.

Economía circular aplicada: reutilización estructural

Los componentes de MAGBIOCELL están pensados para un modelo **circular y regenerativo**, donde cada parte puede ser:

- **Reutilizada** directamente (microcontrolador, puente H, carcasa).
- **Reacondicionada** (lavado y recarga del gel, sustitución de solenoide).
- **Reformulada** (reciclado de sales, secado y recuperación del carbono).
- **Reintegrada** en nuevas celdas sin pérdida de estructura.

Ejemplo práctico:

Una celda usada en una lámpara comunitaria puede ser reconfigurada como celda de respaldo escolar simplemente:

- Cambiando el electrolito.
- Reajustando el microcontrolador.
- Reimprimiendo su carcasa.

Esto **rompe con la lógica de obsolescencia programada** y permite una cultura de **intervención funcional continua** en los sistemas energéticos.

Intercambio de diseños y soberanía técnica

Como MAGBIOCELL no depende de patentes propietarias ni de materiales licenciarios, puede formar parte de un ecosistema de:

- **Diseños abiertos (open source hardware).**
- **Recetas funcionales replicables en red.**
- **Comunidades de aprendizaje distribuido.**

Esto crea la posibilidad de que **cada comunidad genere, adapte y mejore su propia tecnología energética**, sin esperar decisiones de centros de poder industrial.

Modelo escalable: de microceldas a redes autónomas

La arquitectura estructural reversible de MAGBIOCELL permite escalar desde:

- **Microceldas individuales** para sensores o dispositivos portátiles.
- Hasta **módulos estructurados** de varias celdas para iluminación, comunicación o microelectrónica rural.
- Y en fases avanzadas, **sistemas multicélula coordinados digitalmente** para soluciones autónomas de baja potencia (paneles solares con almacenamiento nocturno, estaciones meteorológicas remotas, etc.).

Cada uno de estos niveles puede ser producido localmente, verificado con instrumentación educativa, y mantenido con saberes colectivos.

Principios de soberanía energética aplicados

Principio	MAGBIOCELL – Aplicación directa
Producción local	Sí – con insumos domésticos y equipamiento básico
No dependencia estratégica	Sí – sin metales críticos ni licencias propietarias
Control sobre la activación	Sí – por lógica programable, no industrial
Reparabilidad y mantenimiento	Sí – modular, sin riesgo químico o eléctrico

Principio	MAGBIOCELL – Aplicación directa
Reciclaje funcional	Sí – estructuras regenerativas y reconfigurables
Formación de redes técnicas	Sí – mediante planos abiertos, guías y replicación

Conclusión operativa

MAGBIOCELL ofrece por primera vez una tecnología energética que **rompe con la lógica de extractivismo, centralización y pasividad tecnológica**, y propone una alternativa **estructuralmente autónoma, funcionalmente reversible y culturalmente apropiable**.

En este sentido, MAGBIOCELL no es sólo una celda energética: es **una arquitectura de soberanía estructural, funcional y social**, orientada a transformar la relación entre comunidades humanas y su acceso a la energía limpia.

10.5 Aplicaciones emergentes: médicas, portables, educativas

10.5.1 Aplicaciones médicas: bioenergía funcional sin riesgo

Las tecnologías energéticas aplicadas al entorno médico deben cumplir criterios extremadamente exigentes de:

- Biocompatibilidad
- Seguridad térmica y química
- Control preciso y programable
- Durabilidad en condiciones fisiológicas
- Ausencia total de toxicidad e inflamabilidad

MAGBIOCELL, gracias a su arquitectura funcional reversible, su composición bioinspirada (Na⁺, Fe, H₂O, carbono), y su capacidad de activación externa sin contacto, habilita una nueva clase de **sistemas energéticos aplicables a contextos médicos sensibles**, tales como:

Dispositivos potenciales:

- **Biosensores implantables o subcutáneos**, activados sólo durante la medición.
- **Sistemas de liberación farmacológica inteligente**, energizados con campos externos breves.
- **Estimulación neuromuscular de baja intensidad**, sin necesidad de baterías de litio invasivas.
- **Parches cutáneos activos**, con activación intermitente sin calor ni reacción espontánea.

La posibilidad de producir celdas en encapsulados biodegradables (ej. PVA + gel acuoso) permitiría incluso **la fabricación de celdas descartables, desactivables y biocompatibles**, para procedimientos quirúrgicos o experimentales no invasivos.

10.5.2 Aplicaciones portables: energía limpia sin riesgo funcional

El segmento de dispositivos portátiles (wearables, herramientas de medición, electrónica personal) presenta una tensión constante entre tamaño, autonomía, seguridad y sostenibilidad. Las baterías actuales (Li-ion, coin cells) tienen limitaciones críticas:

- Riesgo de cortocircuito o fuego.
- Dificultad para integrarse a textiles, materiales blandos o biológicos.
- Impacto ambiental y reciclaje complejo.

MAGBIOCELL ofrece una solución estructural diferente:

- **Modo pasivo total** cuando no se requiere energía.
- **Activación selectiva y puntual**, por ejemplo al acercarse un campo magnético o sensor de proximidad.
- **Diseño plano, flexible o encapsulado en materiales blandos**, adecuado para integración textil o corporal.
- **Posibilidad de fabricación personalizada o artesanal**, en lotes pequeños y adaptados a cada diseño.

Ejemplos de uso:

- **Pulseras que almacenan energía sin descargarla hasta ser activadas.**
- **Tejidos energizados por zonas (zonificación funcional)**, activables desde una app o sensor magnético.
- **Equipos de monitoreo ambiental portátil** con cero riesgo de incendio o explosión en transporte.

10.5.3 Aplicaciones educativas: pedagogía energética segura y replicable

Uno de los ámbitos más potentes para la adopción de MAGBIOCELL es el **entorno educativo y de formación técnica**, especialmente en regiones donde:

- El acceso a tecnología es limitado o inexistente.
- La enseñanza de principios científicos requiere soluciones manipulables, seguras y económicas.
- El enfoque pedagógico desea integrar sostenibilidad, innovación y empoderamiento local.

MAGBIOCELL permite crear kits y actividades donde los estudiantes pueden:

- **Construir sus propias celdas desde cero**, entendiendo electroquímica, magnetismo, lógica digital y diseño funcional.
- **Simular activación energética estructural**, comparando modos latentes vs. activos.
- **Medir voltaje, corriente y tiempo de activación**, mediante osciloscopios escolares o microcontroladores como Arduino.
- **Programar activaciones con lógica condicional**, integrando electrónica, sensores y pensamiento algorítmico.

Resumen: sectores emergentes y su convergencia funcional

Sector	Necesidad clave	Solución ofrecida por MAGBIOCELL
Salud	Energía limpia, puntual, implantable	Activación inducida, sin calor ni toxicidad
Tecnología portátil	Seguridad, flexibilidad, miniaturización	Estructura reversible, sin fuga ni fuego
Educación	Didáctica segura, económica y reproducible	Componentes simples, replicación local

Proyección transdisciplinaria

La arquitectura de MAGBIOCELL no está limitada a un dominio técnico específico. Por el contrario, al ofrecer:

- Una **lógica energética gobernada estructuralmente**,
- Un **modelo funcional replicable y seguro**, y
- Una **composición material bioinspirada y sostenible**,

esta tecnología puede integrarse en **ecosistemas de innovación interdisciplinaria**, incluyendo:

- Arte y diseño tecnológico (esculturas energéticas, textiles funcionales).
- Bioelectrónica blanda (soft robotics, implantes experimentales).
- Agricultura de precisión autosostenida.
- Educación energética crítica y transformadora.

Capítulo 11 – Conclusiones y proyección

11.1 Síntesis del modelo tecnológico

MAGBIOCELL representa una categoría completamente nueva de celda energética, cuyo funcionamiento no se basa en los principios clásicos de conducción continua ni en la espontaneidad permanente de las reacciones redox bajo un diferencial de potencial eléctrico. En cambio, su comportamiento operativo se rige por una **lógica de activación funcional estructurada**, que redefine por completo la forma en que la energía es almacenada, transferida y controlada.

Esta lógica estructural se articula a partir de cuatro componentes esenciales:

- **Estructura redox biofuncional:** formada por un ánodo de carbono poroso funcionalizado, un electrolito coloidal acuoso con iones Na^+ y magnetosomas suspendidos, y un cátodo gelificado con capacidad de acoplamiento magnético y electrónico. Esta arquitectura permite una alta reversibilidad sin formación de metales activos ni residuos tóxicos.
- **Canal de transferencia inducido magnéticamente:** no existe de forma permanente, sino que se **forma de manera temporal y controlada** cuando se aplica un campo magnético externo. Esta inducción alinea los espines de las nanopartículas magnéticas, habilitando rutas de migración iónica y acoplamiento electrónico estructurado.
- **Subsistema electrónico de control:** compuesto por un microcontrolador, puente H y sensores, decide en qué momento se activa la celda, durante cuánto tiempo, y en qué **dirección funcional** (modo carga o descarga), según parámetros internos y condiciones externas predefinidas.
- **Condición estructural de latencia absoluta:** en ausencia de activación, la celda permanece **completamente inactiva**, sin transferencia de carga, sin autodescarga significativa y sin riesgo funcional, incluso si permanece conectada físicamente a un circuito externo. Esta propiedad introduce un nuevo estándar de seguridad energética estructural.

Gracias a esta integración única de electroquímica reversible, control funcional inducido, lógica digital y arquitectura bioestructurada, MAGBIOCELL se configura como una **celda energéticamente programable, autónoma, reversible, ecológica y segura**, en la cual cada ciclo operativo está determinado no solo por su química interna, sino también por la **estructura, la lógica funcional y la dirección del campo que define su activación**.

11.2 Diferencias estructurales y operativas frente al estado del arte

Las diferencias fundamentales entre MAGBIOCELL y las tecnologías convencionales pueden sintetizarse en cinco niveles clave:

1. Nivel químico

No emplea litio, cobalto, níquel, disolventes orgánicos ni compuestos cáusticos.

2. Nivel estructural

No contiene canal de transferencia físico permanente. La conducción funcional es inducida y reversible.

3. Nivel energético

No existe autodescarga en modo latente. La celda es pasiva hasta que se le ordena activarse.

4. Nivel lógico-funcional

El sistema no responde automáticamente a la conexión de una carga o fuente: requiere activación digital estructural por campo magnético, gobernada por microcontrolador.

5. Nivel socioecológico

La celda puede fabricarse con insumos abundantes, no estratégicos, de forma local, con métodos accesibles y seguros, abriendo el camino a una energía estructuralmente descentralizada.

11.3 Líneas de escalabilidad futura y validación experimental

Si bien el documento actual se basa en una arquitectura **teórica, científica y empíricamente fundamentada**, las siguientes etapas requerirán:

1. Validación experimental del canal funcional inducido

- Ensayos de alineación magnética de nanopartículas en medios gelificados.
- Medición de conductividad funcional durante y después del pulso magnético.
- Confirmación visual (microscopía óptica o electrónica) del alineamiento temporal.

2. Construcción de celdas funcionales a escala laboratorio

- Ánodo de carbono poroso activado.
- Cátodo gelificado con magnetosomas dispersos.
- Electrolito acuoso con control coloidal.

3. Pruebas de activación electrónica

- Uso de solenoide y puente H activado por microcontrolador.
- Registro de ciclos funcionales de carga y descarga con cronograma y voltimetría.
- Validación de la inversión estructural reversible mediante campo.

4. Integración modular

- Fabricación de microceldas conectables en serie o paralelo.
- Verificación del comportamiento conjunto en modos activado y pasivo.

- Escalado funcional para sistemas portables, sensores o electrónica de baja potencia.

5. Plataforma educativa y comunitaria

- Diseño de kits didácticos para fabricación manual.
- Desarrollo de tutoriales, guías abiertas y kits reproducibles para makerspaces.

11.4 Declaración de disrupción funcional, ecológica y social

MAGBIOCELL no representa una mejora incremental sobre las baterías existentes. Es, en cambio, una **reconstrucción total del concepto de celda energética**, basada en:

- La **estructura** como principio funcional.
- La **lógica magnética** como condición de activación.
- La **materia bioinspirada** como soporte redox.
- La **inteligencia embebida** como gestión funcional.
- La **latencia energética absoluta** como garantía de seguridad.

Se trata de una propuesta disruptiva no solo en términos tecnológicos, sino también en:

- Su impacto ambiental mínimo y reciclabilidad estructural.
- Su viabilidad de producción local, abierta y no extractiva.
- Su integración con los principios de soberanía energética, bioética y pedagogía crítica.

MAGBIOCELL inaugura un paradigma en el cual **la energía no es simplemente almacenada, sino estructurada, gobernada y protegida**. La celda deja de ser un objeto físico pasivo, para convertirse en un sistema lógico activo: **una arquitectura viva de energía funcional**.

Javier Jerez Fernández, autor de la invención

27 de Mayo del 2025